

## LM25576-Q1 42V、3A、降圧スイッチングレギュレータ

### 1 特長

- 車載アプリケーション認定済み
- 以下の結果で AEC-Q100 認定済み:
  - デバイス温度グレード 1:  $-40^{\circ}\text{C} \sim +125^{\circ}\text{C}$  の動作時周囲温度
- 42V、 $170\text{m}\Omega$ 、N チャネル MOSFET を内蔵
- 非常に広い入力電圧範囲: 6V ~ 42V
- 最低 1.225V の調整可能な出力電圧
- 1.5% のフィードバックリファレンス精度
- 単一の抵抗を使用する場合、動作周波数を 50kHz ~ 1MHz の範囲で調整可能
- コントローラまたは周辺装置の周波数同期
- 可変ソフトスタート
- 電流モード制御アーキテクチャをエミュレート
- 広帯域幅のエラー アンプ
- 内蔵保護機能
- HTSSOP-20 EP (露出パッド)
- WEBENCH® Power Designer** により、LM25576-Q1 を使用するカスタム設計を作成

### 2 アプリケーション

- 車載

### 3 説明

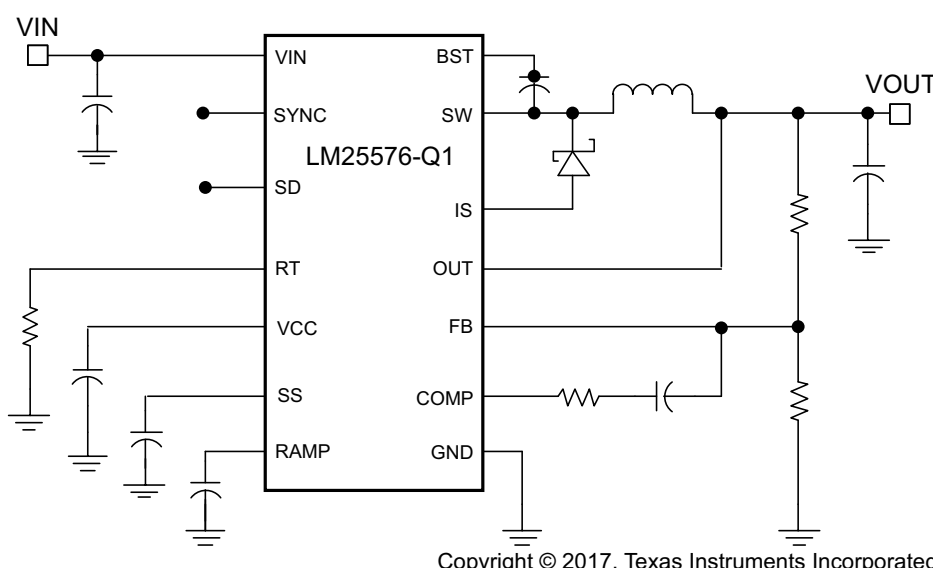
LM25576-Q1 は、使いやすい降圧型レギュレータで、ユーザーは最小点数の部品を使用して、堅牢な電源を設計

し最適化できます。LM25576-Q1 は 6V ~ 42V の入力電圧レンジで動作し、内蔵の  $170\text{m}\Omega$  N チャネル MOSFET を使用して 3A の連続出力電流を供給します。このレギュレータはエミュレーション電流モードアーキテクチャを活用しているため、ラインレギュレーション、厳格な負荷過渡応答、容易なループ補償という固有の特性があり、電流モードレギュレータで一般的な、低いデューティサイクルの制限はありません。動作周波数は 50kHz ~ 1MHz の範囲で調整可能であり、サイズと効率の最適化を達成できます。EMI を低減するための周波数同期ピンがあり、LM(2)557x ファミリに属する複数の IC で、自己同期または外部クロックへの同期を選択できます。LM25576-Q1 は、サイクルごとの電流制限、短絡保護、サーマルシャットダウン、およびリモートシャットダウンを行うため、高い信頼性を実現します。このデバイスは、放熱を助けるために露出したパッドがダイに取り付けられ、消費可能電力が増大した HTSSOP-20 パッケージで供給されます。LM25576-Q1 は、さまざまな WEBENCH® オンライン設計支援ツールに対応しています。

### パッケージ情報

部品番号	パッケージ <sup>(1)</sup>	パッケージ サイズ <sup>(2)</sup>
LM25576-Q1	PWP (HTSSOP, 20)	6.50mm × 4.40mm

- (1) 供給されているすべてのパッケージについては、[セクション 10](#) を参照してください。  
 (2) パッケージ サイズ (長さ × 幅) は公称値であり、該当する場合はピンも含まれます。



アプリケーション概略回路図



このリソースの元の言語は英語です。翻訳は概要を便宜的に提供するもので、自動化ツール（機械翻訳）を使用していることがあり、TI では翻訳の正確性および妥当性につきましては一切保証いたしません。実際の設計などの前には、ti.com で必ず最新の英語版をご参照くださいますようお願いいたします。

## 目次

1 特長	1	6.4 デバイスの機能モード	10
2 アプリケーション	1	7 アプリケーションと実装	16
3 説明	1	7.1 アプリケーション情報	16
4 ピン構成および機能	3	7.2 代表的なアプリケーション	22
5 仕様	5	7.3 電源に関する推奨事項	23
5.1 絶対最大定格	5	7.4 レイアウト	23
5.2 ESD 定格	5	8 デバイスおよびドキュメントのサポート	27
5.3 推奨動作条件	5	8.1 デバイス サポート	27
5.4 熱抵抗特性	5	8.2 ドキュメントの更新通知を受け取る方法	27
5.5 電気的特性	6	8.3 サポート・リソース	27
5.6 代表的特性	7	8.4 商標	27
6 詳細説明	9	8.5 静電気放電に関する注意事項	27
6.1 概要	9	8.6 用語集	27
6.2 機能ブロック図	9	9 改訂履歴	28
6.3 機能説明	9	10 メカニカル、パッケージ、および注文情報	29

## 4 ピン構成および機能

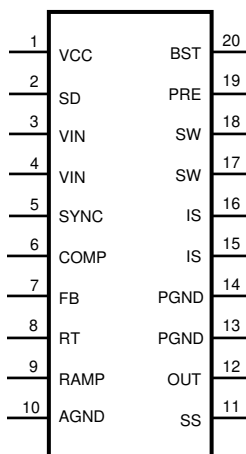


図 4-1. LM25576-Q1 PWP 20-HTSSOP (上面図)

表 4-1. ピンの機能

ピン		説明
名称	番号	
AGND	10	アナログ グランド レギュレータ制御機能用の内部リファレンス
BST	20	ブートストラップ コンデンサのブースト入力 BST ピンと SW ピンとの間には外部コンデンサが必要です。0.022μF セラミック コンデンサを推奨します。このコンデンサは、降圧スイッチのオフ時間中に、V <sub>CC</sub> から内部ダイオードを経由して充電されます。
COMP	6	内部エラー アンプの出力 ループ補償ネットワークは、このピンと FB ピンとの間に接続する必要があります。
EP	該当なし	露出パッド デバイスの下側にある露出金属パッド。放熱を促進するため、このパッドを PWB グランド プレーンに接続することを推奨します。
FB	7	レギュレートされた出力からの帰還信号 このピンは、内部エラー アンプの反転入力に接続されます。レギュレーション閾値は 1.225V です。
IS	15, 16	電流センス 再循環ダイオードの電流測定接続。内部のセンス抵抗とサンプル / ホールド回路は、オフ時間の終了付近でダイオード電流を検出します。この電流測定値は、エミュレートされた電流ランプの DC レベルを提供します。
OUT	12	出力電圧接続 レギュレートされた出力電圧に直接接続します。
PGND	13, 14	電源グランド PRE スイッチと IS センス抵抗のローサイド リファレンス。
PRE	19	ブートストラップ コンデンサのプリチャージ支援 このオープンドレン入力を SW ピンに接続することで、非常に軽い負荷状況時や、LM25576-Q1 がイネーブルになる前に出力をプリチャージできるアプリケーションで、ブートストラップ コンデンサを充電するために役立ちます。降圧スイッチのオン時間間隔の直前に、内部プリチャージ MOSFET が各サイクル 265ns でオンになります。
RAMP	9	ランプ制御信号 このピンと AGND ピンとの間に接続される外付けコンデンサにより、電流モード制御に使用されるランプ スロープが設定されます。推奨されるコンデンサ範囲は 50pF ~ 2000pF です。
RT	8	内部発振器の周波数設定入力 内部発振器は、このピンと AGND ピンとの間に接続された 1 つの抵抗で設定されます。

表 4-1. ピンの機能 (続き)

ピン		説明
名称	番号	
SD	2	シャットダウン、または UVLO 入力 SD ピンの電圧が 0.7V を下回ると、レギュレータは低消費電力状態になります。SD ピンの電圧が 0.7V ~ 1.225V の間である場合、レギュレータはスタンバイ モードになります。SD ピンの電圧が 1.225V よりも高い場合、レギュレータは動作します。外付けの分圧器を使用して、ライン低電圧シャットダウン スレッショルドを設定できます。SD ピンをオープンのままにすると、5µA のブルアップ電流源を使用してレギュレータが完全に動作します。
SS	11	ソフトスタート 外付けコンデンサと、内部 10µA 電流源を使用して、エラー アンプのリファレンス電圧が上昇するときの時定数を設定します。SS ピンは、スタンバイ、V <sub>CC</sub> UVLO、サーマル シャットダウン中、low に保持されます。
SW	17、18	スイッチング ノード 内部降圧スイッチのソース端子。SW ピンは、外部ショットキー ダイオードと降圧インダクタに接続する必要があります。
SYNC	5	発振器の同期入力または出力 内部発振器は、外部ブルダウン デバイスを使用して外部クロックと同期可能です。複数の LM25576-Q1 デバイスは、SYNC ピンを接続することで同期させることができます。
VCC	1	バイアス レギュレータの出力 V <sub>CC</sub> は、最大 9V の V <sub>IN</sub> に追従します。9V を超えると、V <sub>CC</sub> は 7 ボルトにレギュレートされます。0.1uF ~ 1uF のセラミック デカッピング コンデンサが必要です。このピンに外部電圧 (7.5V ~ 14V) を印加することで、内部消費電力を低減できます。
VIN	3、4	入力電源電圧 (公称動作範囲): 6V ~ 42V

## 5 仕様

### 5.1 絶対最大定格

自由気流での動作温度範囲内 (特に記述のない限り)<sup>(1) (2)</sup>

		最小値	最大値	単位
V <sub>IN</sub> から GND へ		45		V
BST から GND へ		60		V
PRE から GND へ		45		V
SW から GND へ(定常状態)		-1.5		V
BST から V <sub>CC</sub> へ		45		V
SD, V <sub>CC</sub> から GND へ		14		V
BST から SW へ		14		V
OUT から GND へ	制限付き	V <sub>in</sub>		V
SYNC, SS, FB, RAMP から GND へ		7		V
保存温度	T <sub>stg</sub>	-65	150	°C

- (1) 「絶対最大定格」外での操作は、デバイスに恒久的な損傷を引き起こす可能性があります。「絶対最大定格」は、これらの条件において、または「推奨動作条件」に示された値を超える他のいかなる条件でも、本製品が正しく動作することを暗に示すものではありません。「絶対最大定格」の範囲内であっても「推奨動作条件」の範囲外で使用した場合、本デバイスは完全に機能するとは限らず、このことが本デバイスの信頼性、機能性、性能に影響を及ぼし、デバイスの寿命を短縮する可能性があります。
- (2) 軍用/航空宇宙用仕様のデバイスをお求めの場合は、供給状況および仕様について テキサス・インストゥルメンツの販売特約店または営業所にお問い合わせください。

### 5.2 ESD 定格

		値	単位
V <sub>(ESD)</sub>	人体モデル (HBM), ANSI/ESDA/JEDEC JS-001 に準拠、すべてのピン <sup>(2)</sup>	±2	kV
	荷電デバイスモデル (CDM), JEDEC 仕様 JESD22-C101 <sup>(3)</sup> に準拠	±500	V

- (1) 人体モデルは、100pF コンデンサから抵抗 1.5kΩ を介して各ピンに放電させた場合です。
- (2) JEDEC のドキュメント JEP155 に、500V HBM では標準の ESD 管理プロセスで安全な製造が可能であると規定されています。
- (3) JEDEC のドキュメント JEP157 に、250V CDM では標準の ESD 管理プロセスで安全な製造が可能であると規定されています。

### 5.3 推奨動作条件

(1)	最小値	公称値	最大値	単位
V <sub>IN</sub>	6	42		V
T <sub>J</sub> 動作時接合部温度	-40		125	°C

- (1) 絶対最大定格は、これを超過するとデバイスが損傷する可能性がある限界値です。動作定格は、デバイスが意図どおりに機能することを想定した条件です。保証された仕様および試験条件については、[セクション 5.5](#) を参照してください。

### 5.4 热抵抗特性

熱評価基準 <sup>(1)</sup>	LM25576-Q1		単位	
	PWP (HTSSOP)			
	20 ピン			
R <sub>θJA</sub>	接合部から周囲への熱抵抗	40	°C/W	
R <sub>θJC(top)</sub>	接合部からケース(上面)への熱抵抗	33.6	°C/W	
R <sub>θJB</sub>	接合部から基板への熱抵抗	6.9	°C/W	

## 5.4 热抵抗特性 (続き)

		LM25576-Q1	単位
		PWP (HTSSOP)	
		20 ピン	
熱評価基準 <sup>(1)</sup>			
$\Psi_{JT}$	接合部から上面への特性パラメータ	1.3	°C/W
$\Psi_{JB}$	接合部から基板への特性パラメータ	14.8	°C/W

(1) 従来および最新の熱評価基準の詳細については、『半導体および IC パッケージの熱評価基準』アプリケーション レポートを参照してください。

## 5.5 電気的特性

標準値は  $T_J = 25^\circ\text{C}$ 、 $V_{IN} = 24\text{V}$ 、 $R_T = 32.4\text{k}\Omega$  に対応します。特に記述のない限り、最小および最大の限界値は、 $-40^\circ\text{C} \sim 125^\circ\text{C}$  の接合部温度範囲全体に対するものです。<sup>(1)</sup>

パラメータ	テスト条件	最小値	標準値	最大値	単位
<b>スタートアップ レギュレータ</b>					
$V_{CC\ Reg}$	$V_{CC}$ レギュレータ出力		6.85	7.15	$\text{V}$
	$V_{CC}$ LDO モード ターンオフ			9	$\text{V}$
	$V_{CC}$ 電流制限	$V_{CC} = 0\text{V}$		25	$\text{mA}$
<b>VCC 電源</b>					
	$V_{CC}$ UVLO スレッショルド	$V_{CC}$ 増加	5.03	5.35	$\text{V}$
	$V_{CC}$ 低電圧のヒステリシス			0.25	$\text{V}$
	バイアス電流 ( $I_{lin}$ )	$FB = 1.3\text{V}_0$		2	$\text{mA}$
	シャットダウン電流 ( $I_{lin}$ )	$SD = 0\text{V}_0$		48	$\mu\text{A}$
<b>シャットダウン スレッショルド</b>					
	シャットダウン スレッショルド		0.47	0.7	$\text{V}$
	シャットダウンのヒステリシス			0.1	$\text{V}$
	スタンバイ スレッショルド		1.17	1.225	$\text{V}$
	スタンバイ ヒステリシス			0.1	$\text{V}$
	SD ブルアップ電流ソース			5	$\mu\text{A}$
<b>スイッチ特性</b>					
	降圧スイッチの $R_{ds(on)}$		170	340	$\text{m}\Omega$
	昇圧 UVLO			3.8	$\text{V}$
	BOOST UVLO ヒステリシス			0.8	$\text{V}$
	プリチャージ スイッチ $R_{ds(on)}$			70	$\Omega$
	プリチャージスイッチオン時間			265	$\text{ns}$
<b>電流制限</b>					
	サイクルごとの電流制限遅延	$RAMP = 2.5\text{V}_0$		75	$\text{ns}$
<b>ソフト スタート</b>					
	SS 電流ソース		7	10	$\mu\text{A}$
<b>発振器</b>					
	Frequency1		180	200	$220$ kHz
	Frequency2	$R_T = 11\text{k}\Omega$	425	485	545 kHz
	同期ソース インピーダンス			11	$\text{k}\Omega$
	同期シンク インピーダンス			110	$\Omega$
	SYNC スレッショルド (立ち下がり)			1.4	$\text{V}$
	SYNC 周波数	$R_T = 11\text{k}\Omega$	550		kHz
	SYNC パルス幅の最小値			15	$\text{ns}$
<b>ランプ生成器</b>					
	ランプ電流 1	$V_{IN} = 36\text{V}, V_{OUT} = 10\text{V}_0$	136	160	$184$ $\mu\text{A}$

## 5.5 電気的特性 (続き)

標準値は  $T_J = 25^\circ\text{C}$ 、 $V_{IN} = 24\text{V}$ 、 $R_T = 32.4\text{k}\Omega$  に対応します。特に記述のない限り、最小および最大の限界値は、 $-40^\circ\text{C} \sim 125^\circ\text{C}$  の接合部温度範囲全体に対するものです。<sup>(1)</sup>

パラメータ	テスト条件	最小値	標準値	最大値	単位
ランプ電流 2	$V_{IN} = 10\text{V}$ 、 $V_{OUT} = 10\text{V}$ 。	18	25	32	$\mu\text{A}$
<b>PWM コンバレータ</b>					
強制オフ時間		416	500	575	ns
最小オン時間			80		ns
COMP から PWM へのコンバレータ オフセット			0.7		V
<b>エラー アンプ</b>					
帰還電圧	$V_{fb} = \text{COMP.}$	1.207	1.225	1.243	$\mu\text{V}$
FB バイアス電流			10		nA
DC ゲイン			70		dB
COMP シンク / ソース電流			3		mA
ユニティ ゲイン 帯域幅			3		MHz
<b>ダイオード検出抵抗</b>					
$D_{SENSE}$			42		$\text{m}\Omega$
<b>サーマル シャットダウン</b>					
$T_{sd}$	サーマル シャットダウン スレッショルド <sup>(1)</sup>		165		$^\circ\text{C}$
$T_{sd\_hys}$	サーマル シャットダウン ヒステリシス <sup>(1)</sup>		25		$^\circ\text{C}$

(1) 最小および最大制限値は  $25^\circ\text{C}$  で全数テストされます。全動作温度範囲における制限値は、統計的品質管理 (SQC) 法を使用した相関により規定されています。これらの制限値を使って、テキサスインスツルメンツの平均出検品質限界 (AOQL) を計算しています。

## 5.6 代表的特性

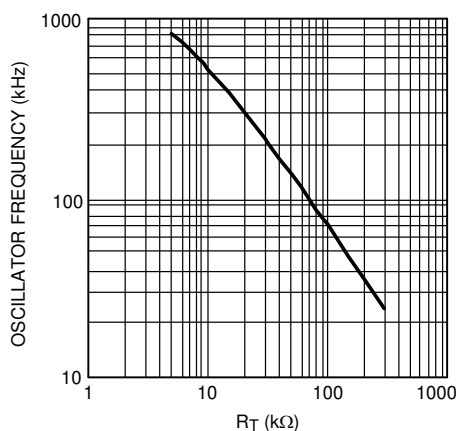


図 5-1. 発振器周波数と  $R_T$  との関係

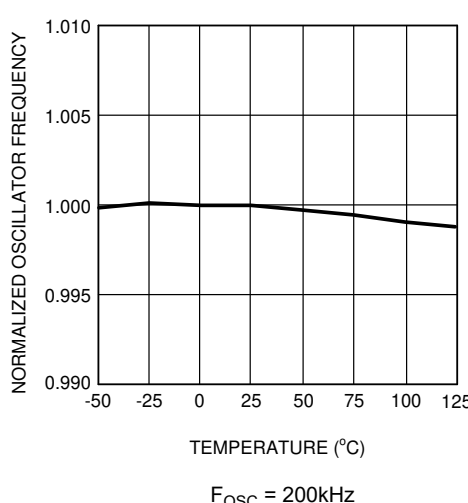


図 5-2. 発振器周波数と温度との関係

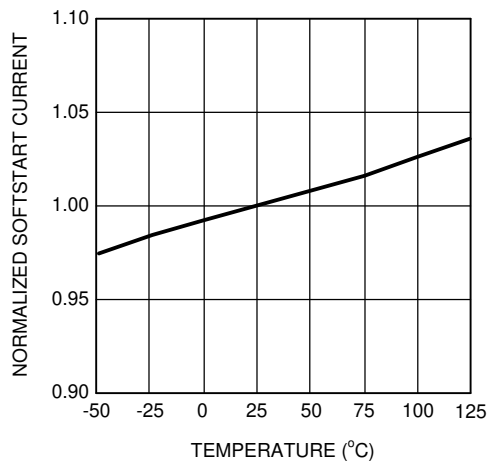


図 5-3. ソフトスタート電流と温度との関係

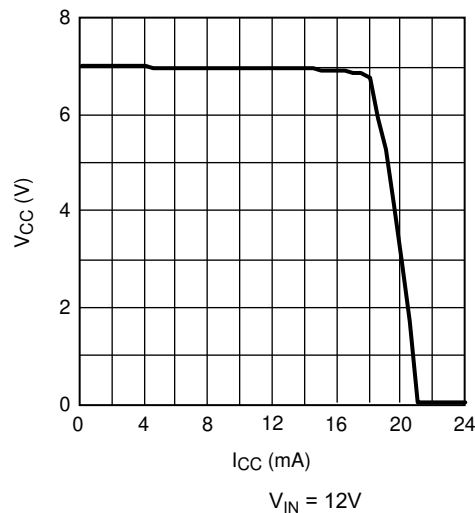
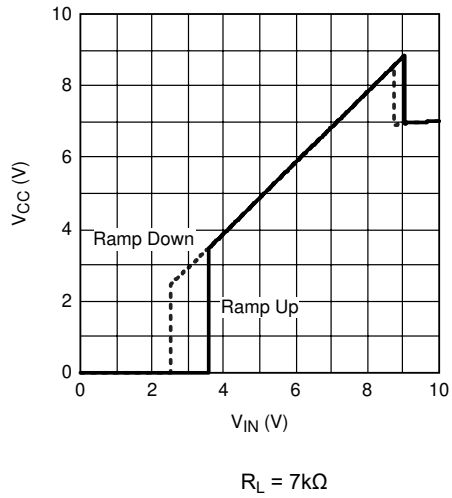
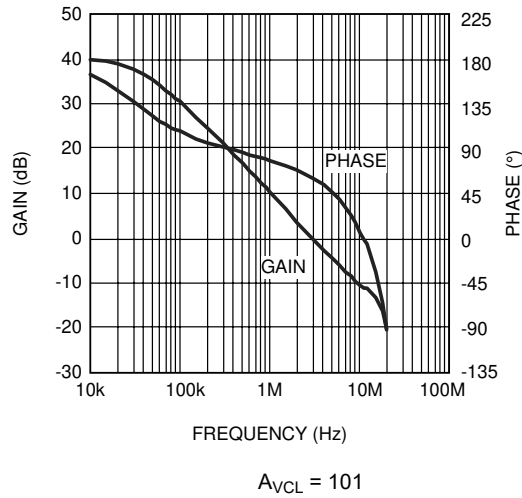
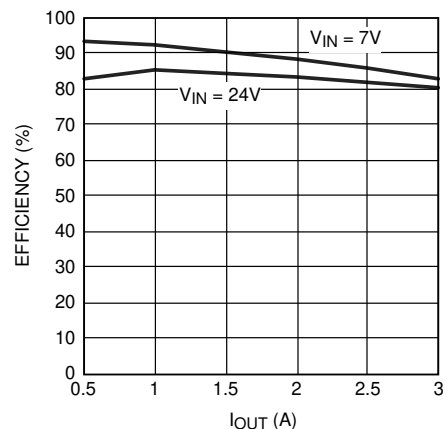
図 5-4.  $V_{CC}$  と  $I_{CC}$  との関係図 5-5.  $V_{CC}$  と  $V_{IN}$  との関係

図 5-6. エラー アンプのゲインおよび位相

図 5-7. デモボード効率と  $I_{OUT}$  および  $V_{IN}$  との関係

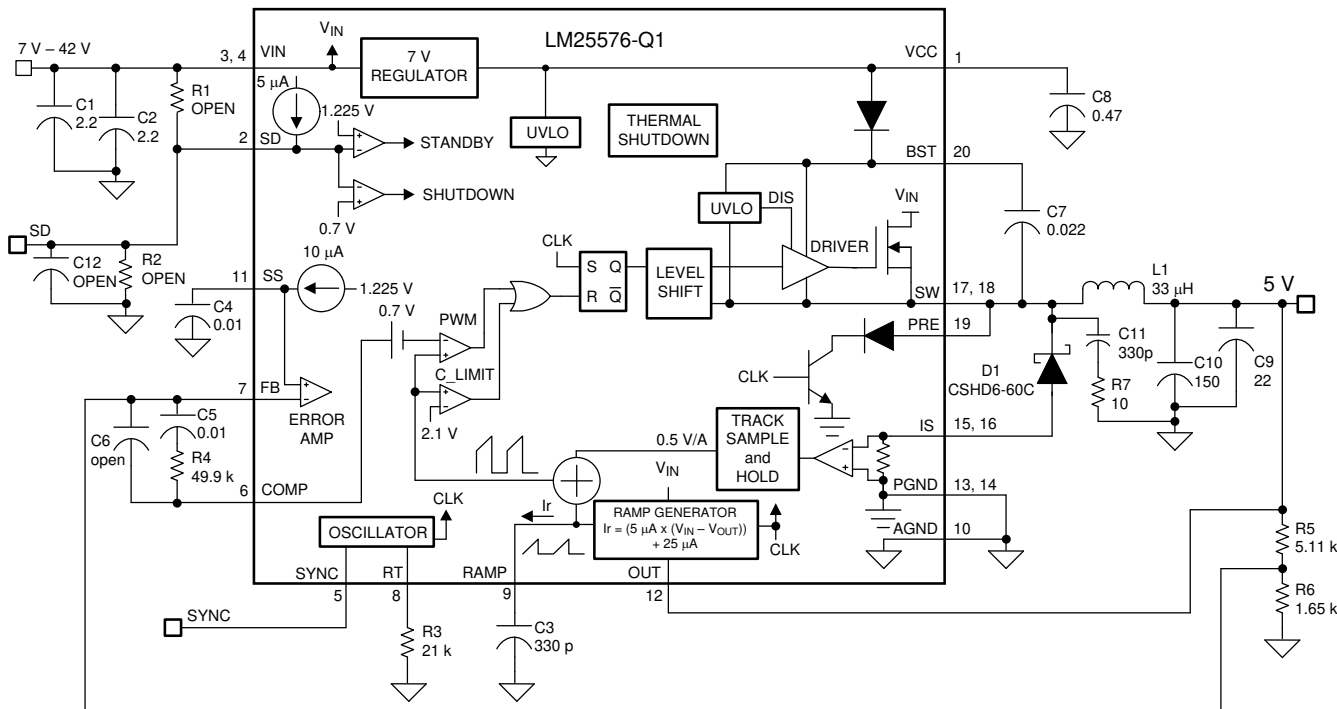
## 6 詳細説明

### 6.1 概要

LM25576-Q1 スイッチング レギュレータは、最小限の外付け部品を使用して高効率高電圧を実装するために必要なすべての機能を備えています。この使いやすいレギュレータは、42V の N チャネル降圧スイッチを内蔵しており、出力電流能力は 3A です。レギュレータ制御方式は、エミュレートされた電流ランプを使用した電流モード制御に基づいています。ピーク電流モード制御には、ライン電圧フィード フォワードと、サイクル単位の電流制限が組み込まれており、ループ補償が簡単に行えます。エミュレートされた制御ランプを使用することで、パルス幅変調回路のノイズ感受性が減少し、入力電圧の高いアプリケーションで不可欠となる、デューティ サイクルの非常に微細な処理を高い信頼性で実行できます。動作周波数は 50kHz ~ 1MHz の範囲でユーザーが設定可能です。発振器の同期ピンを使用すると、複数の LM25576-Q1 レギュレータを自己同期させることや、外部クロックに同期させることができます。出力電圧は、最小 1.225V まで設定できます。フォルト保護機能として、電流制限、サーマル シャットダウン、リモート シャットダウン機能を備えています。このデバイスは、放熱を助けるために露出パッドが取り付けられた HTSSOP-20 パッケージで供給されます。

LM25576-Q1 の機能ブロック図と代表的なアプリケーションについては、[セクション 6.2](#) を参照してください。LM25576-Q1 は、レギュレートされていない高い入力電圧を効率的に降圧するために、多くのアプリケーションに適用できます。このデバイスは、テレコム、産業用電源バスの電圧範囲用に適しています。

### 6.2 機能ブロック図



Copyright © 2017, Texas Instruments Incorporated

図 6-1. 機能ブロック図

### 6.3 機能説明

#### 6.3.1 高電圧起動レギュレータ

LM25576-Q1 にはデュアルモードの高電圧スタートアップ レギュレータが内蔵されており、PWM コントローラ用の  $V_{CC}$  バイアス電源とブートストラップ MOSFET ゲートドライバを供給します。入力ピン (VIN) は最大 42V の入力電圧に直接接続します。入力電圧が 9V 未満の場合、低ドロップアウト スイッチを使用して  $V_{CC}$  を  $V_{IN}$  に直接接続します。この電源電圧範囲では、 $V_{CC}$  は  $V_{IN}$  とほぼ等しくなります。 $V_{IN}$  電圧が 9V を超える場合、低ドロップアウト スイッチが無効になり、

$V_{CC}$  レギュレータ有効がになることで、 $V_{CC}$  を約 7V に維持します。6V ~ 42V の広い動作範囲は、デュアルモード レギュレータを使用しているためです。

$V_{CC}$  レギュレータの出力は、25mA に電流を制限します。電源オン時に、レギュレータは  $V_{CC}$  ピンに接続されているコンデンサに電流を供給します。 $V_{CC}$  ピンの電圧が  $V_{CC}$  UVLO スレッショルドの 5.35V を上回り、SD ピンが 1.225V を上回ると、出力スイッチがイネーブルになります。ソフトスタート シーケンスが開始されます。 $V_{CC}$  が 5V を下回るか、SD ピンが 1.125V を下回るまで、出力スイッチはイネーブルのままでです。

IC の消費電力を低減するために、 $V_{CC}$  ピンに補助電源電圧を印加します。補助電圧が 7.3V を超えると、内部レギュレータは実質的にシャットオフされ、IC の消費電力が低減します。 $V_{CC}$  レギュレータシリーズのパストランジスタには、 $V_{CC}$  と  $V_{IN}$  との間のダイオードが含まれます。このダイオードは、通常動作において順方向バイアスとなってはなりません。補助  $V_{CC}$  電圧が  $V_{IN}$  電圧を超えないようにしてください。

高電圧アプリケーションでは、 $V_{IN}$  ピンが 45V の絶対最大電圧定格を超えないように十分注意してください。ラインまたは負荷の過渡現象中に、絶対最大定格を超える  $V_{IN}$  ラインでの電圧リンクは、IC に損傷を与える可能性があります。プリント基板の慎重なレイアウトと、 $V_{IN}$  および GND ピンの近くに高品質のバイパス コンデンサを配置することの両方が不可欠です。

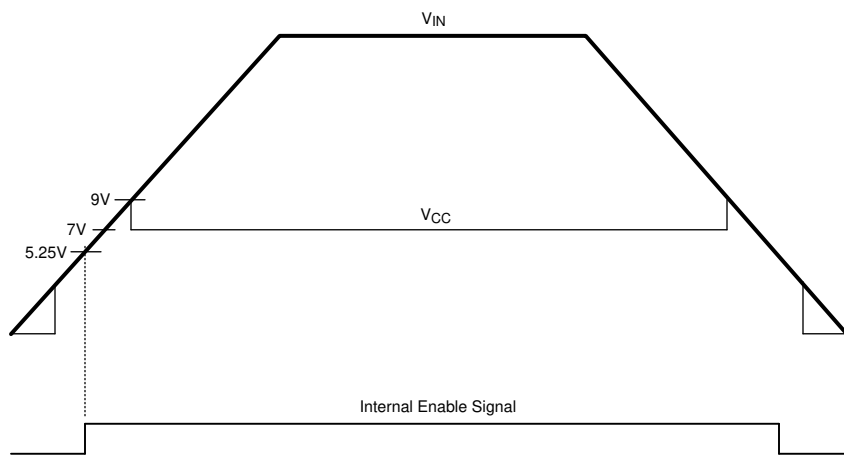


図 6-2.  $V_{IN}$  および  $V_{CC}$  シーケンス

## 6.4 デバイスの機能モード

### 6.4.1 シャットダウンおよびスタンバイ モード

LM25576-Q1 には、デュアル レベル シャットダウン (SD) 回路が搭載されています。SD ピンの電圧が 0.7V を下回ると、レギュレータは低電流シャットダウン モードになります。SD ピンの電圧が 0.7V より高く、1.225V を下回る場合、レギュレータはスタンバイ モードになります。スタンバイ モードでは、 $V_{CC}$  レギュレータはアクティブですが、制御回路はディスエーブルです。SD ピンの電圧が 1.225V を超えると、出力スイッチがイネーブルになります。通常動作が開始されます。内部の 5 $\mu$ A プルアップ電流源により、SD ピンがオープンの場合はレギュレータが完全動作状態になります。

$V_{IN}$  と GND の間に外部設定点を接続する分圧器を使用して、レギュレータの動作入力範囲を設定します。デバイスは、 $V_{IN}$  が望ましい動作範囲内にあるとき、SD ピンの電圧が 1.225V を超えるように設計します。外付け設定点分圧器の計算には、内部 5 $\mu$ A プルアップ電流源を含めます。シャットダウンおよびスタンバイのスレッショルドには、0.1V のヒステリシスが含まれています。SD ピンは、1k $\Omega$  抵抗と 8V ツエナークランプによって内部的にクランプされています。SD ピン電圧が 14V を超えないことを確認します。SD ピンの電圧が 8V を超えると、バイアス電流は 1mA/V のレートで増加します。

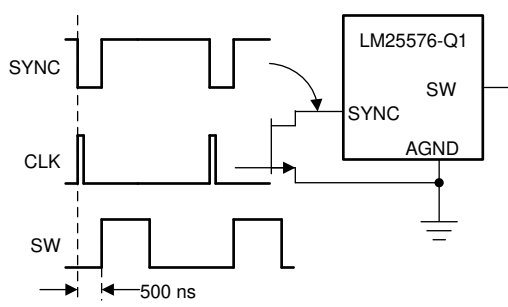
SD ピンを使用して、各種リモートイネーブル/ディセーブル機能を実装します。SD ピンを 0.7V スレッショルドよりも低くすると、コントローラは完全にディスエーブルになります。SD ピンの電圧が 1.225V よりも高い場合、レギュレータは動作状態になります。

#### 6.4.2 発振器と同期機能

LM25576-Q1 の発振器の周波数は、RT ピンと AGND ピンの間に 1 個の外付け抵抗を接続して設定します。 $R_T$  抵抗器は、デバイスのごく近くに配置し、IC のピン (RT および AGND) に直接接続します。目的の発振器周波数 ( $F$ ) を設定するには、 $R_T$  抵抗器に必要な値を次の式で計算します。

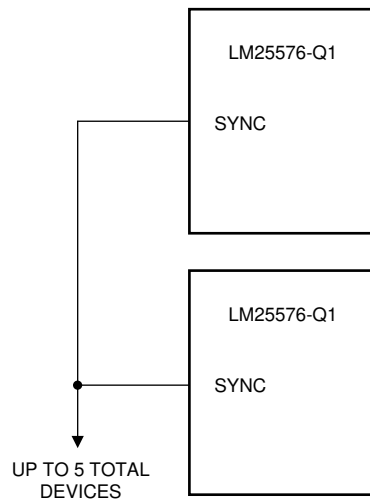
$$R_T = \frac{\frac{1}{F} - 580 \times 10^{-9}}{135 \times 10^{-12}} \quad (1)$$

SYNC ピンを使用して、内部発振器を外部クロックに同期させます。外部クロックの周波数が、 $R_T$  抵抗器によって設定されるフリーラン周波数より高くなっていることを確認します。外部クロックから SYNC ピンへのインターフェイスには、オープンドレイン出力を備えたクロック回路を推奨します。クロックパルス幅が 15ns より大きいことを確認します。



Copyright © 2017, Texas Instruments Incorporated

図 6-3. 外部クロックからの同期



Copyright © 2017, Texas Instruments Incorporated

図 6-4. 複数のデバイスからの同期

SYNC ピンを互いに接続することで、複数の LM25576-Q1 デバイスを互いに同期させます。この構成では、すべてのデバイスが最高周波数のデバイスに同期されます。図 6-5 の図は、LM25576-Q1 の SYNC 入出力機能を示しています。内部発振回路は、強いプルダウンと弱いプルアップインバータを使用して SYNC ピンを駆動します。内部発振器または外部クロックによって SYNC ピンが Low に引き下げられると、発振器のランプサイクルが終了し、新しいサイクルが開始します。したがって、複数の LM25576-Q1 IC の SYNC ピンを接続した場合、内部クロック周波数が最も高い IC が最初に SYNC ピンを low に引き下げ、他の IC の発振ランプサイクルを終了させます。最高にプログラムされたクロック周波数の LM25576-Q1 がコントローラとして機能し、低い発振器周波数ですべてのデバイスのスイッチング周波数を制御します。

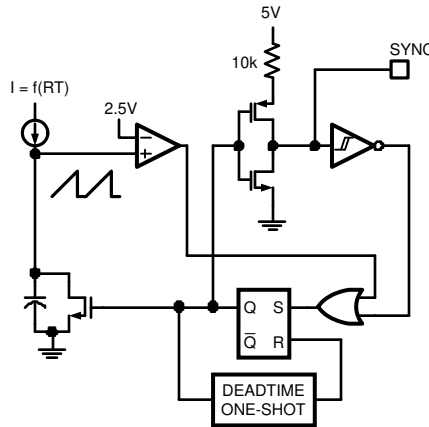


図 6-5. 発振器の概略ブロック図と SYNC I/O 回路

#### 6.4.3 エラー アンプと PWM コンパレータ

内部の高ゲインのエラー アンプは、調整された出力電圧と、内部の高精度リファレンス (1.225V) との差に比例する誤差信号を生成します。エラー アンプの出力は COMP ピンに接続されているため、ユーザーは、図 6-1 セクションに示すように、通常はタイプ II ネットワークであるループ補償部品を提供できます。このネットワークにより、DC に極、ゼロ、ノイズ低減の高周波極が形成されます。PWM コンパレータは、エミュレートされた電流センス信号を、ランプ生成器から COMP ピンでのエラー アンプ出力電圧と比較します。

#### 6.4.4 RAMP ジェネレータ

電流モード制御用のパルス幅変調器でのランプ信号は、通常は降圧スイッチ電流から直接生成されます。このスイッチ電流は、出力インダクタ電流の正の勾配部分に対応します。この信号を PWM ランプに利用することで、单一極の応答に制御ループの伝達関数が単純化され、固有の入力電圧フィードフォワード補償が行われます。PWM 制御に降圧スイッチ電流信号を使用する場合の欠点は、回路の寄生成分に起因する大きなリーディング エッジ スパイクが発生し、フィルタリングまたはプランギングが必要になることです。また、電流測定は大幅な伝搬遅延を発生させる可能性があります。フィルタリング、プランギング時間、伝搬遅延によって、実現可能な最小パルス幅が制限されます。出力電圧に比べて入力電圧が比較的大きくなる可能性のあるアプリケーションでは、レギュレーションのために小さなパルス幅とデューティサイクルを制御する必要があります。LM25576-Q1 は独自のランプ生成器を使用します。このランプ生成器は、降圧スイッチ電流を測定するのではなく、信号を再構築します。インダクタ電流を再構築またはエミュレートすると、PWM コンパレータにランプ信号が供給され、リーディング エッジ スパイクや測定またはフィルタリング遅延が発生しません。電流再構成は、サンプル / ホールド DC レベルとエミュレート電流ランプという 2 つの要素で構成されています。

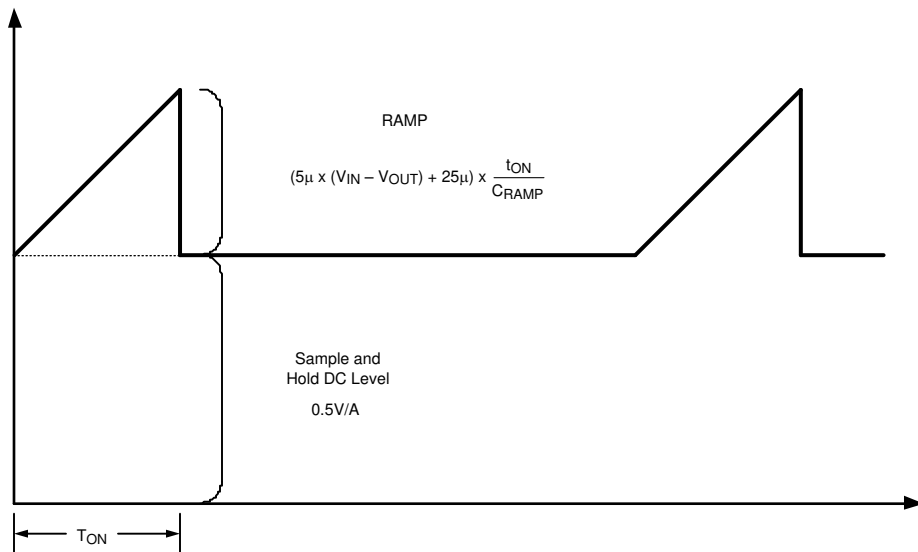


図 6-6. 電流センス信号の構成

図 6-6 に示すサンプル / ホールド DC レベルは、再循環のショットキー ダイオード アノード電流の測定値から得られます。還流ダイオードのアノードを IS ピンに接続してください。ダイオード電流は、IS ピンと PGND ピンの間にある内部電流検出抵抗を流れます。センス抵抗の両端の電圧レベルは、降圧スイッチの次の導通間隔が開始する直前にサンプリングおよび保持されます。ダイオード電流センシングとサンプル / ホールドは、再構築された電流信号の DC レベルを提供します。正のスロープ インダクタ電流ランプは、RAMP ピンから AGND に接続された外付けコンデンサと内部電圧制御電流源によってエミュレートされます。インダクタ電流をエミュレートするランプ電流源は、次の式に従う  $V_{in}$  および  $V_{out}$  電圧の関数です：

$$I_{RAMP} = [5\mu \times (V_{IN} - V_{OUT})] + 25\mu A \quad (2)$$

RAMP コンデンサを適切に選択するかどうかは、選択した出力インダクタの値によって異なります。次の式から、 $C_{RAMP}$  の値を選択します。

$$C_{RAMP} = L \times 10^{-5} \quad (3)$$

- $L$  は出力インダクタの値をヘンリー単位で示したもの。

この値により、エミュレートされた電流ランプの係数は、DC レベル サンプル / ホールド (0.5V/A) の係数とほぼ等しくなります。 $C_{RAMP}$  コンデンサは、デバイスのごく近くに配置し、IC のピン (RAMP および AGND) に直接接続されていることを確認します。

デューティ サイクルが 50% よりも大きい場合、ピーク電流モード制御回路は分数調波発振の影響を受けます。分数調波の発振には通常、スイッチ ノードで広いパルスと狭いデューティ サイクルが繰り返し観測されるという特徴があります。電流検出信号に固定スロープ電圧ランプ (スロープ補償) を追加することで、この発振を防ぐことができます。エミュレート電流源から供給されるオフセット電流の  $25\mu A$  により、ランプ信号に固定スロープが追加されます。出力電圧およびデューティ サイクルの高いアプリケーションによっては、追加のスロープが必要になる場合があります。これらのアプリケーションでは、ランプのスロープ補償を増やすために、 $V_{cc}$  ピンと RAMP ピンとの間にプルアップ抵抗を追加してください。

$V_{OUT} > 7.5V$  の場合：

最適なスロープ電流を計算します。

$$I_{OS} = V_{OUT} \times 5\mu A/V \quad (4)$$

例えば、 $V_{OUT} = 10V$ 、 $I_{OS} = 50\mu A$ 。

RAMP ピンと V<sub>CC</sub> との間に抵抗を取り付けます:

$$R_{RAMP} = V_{CC} \div [I_{OS} - 25\mu A] \quad (5)$$

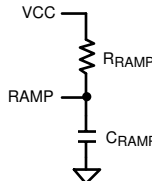


図 6-7. V<sub>OUT</sub> > 7.5V の場合、V<sub>CC</sub> に対する R<sub>RAMP</sub>

#### 6.4.5 最大デューティ サイクルと入力ドロップアウト電圧

ダイオード電流をサンプリングするのに十分な時間を確保するために、サイクルごとに 500ns の強制オフ時間が実装されています。この強制オフ時間により、バック スイッチの最大デューティ サイクルが制限されます。最大デューティ サイクルは、動作周波数によって異なります。

$$D_{MAX} = 1 - F_s \times 500\text{ns} \quad (6)$$

- F<sub>s</sub> = 発振器の周波数

最大デューティ サイクルを制限すると、入力ドロップアウト電圧が上昇します。入力ドロップアウト電圧は、出力電圧のレギュレーションを維持するために必要な最小の入力電圧です。入力ドロップアウト電圧の近似値は、次の式で計算されます:

$$V_{inMIN} = \frac{V_{out} + V_D}{1 - F_s \times 500\text{ns}} \quad (7)$$

- V<sub>D</sub> = 還流ダイオードの両端の電圧降下

高いスイッチング周波数で動作する場合、レギュレーションの維持に必要な最小入力電圧が上昇します。

#### 6.4.6 電流制限

LM25576-Q1 は、制御と過電流保護のための独自の電流監視方式を採用しています。正しく設定すると、エミュレートされた電流センス信号は、0.5V/A のスケール係数で降圧スイッチ電流に比例する信号を出力します。エミュレートされたランプ信号は、電流制限コンパレータに適用されます。エミュレートされたランプ信号が 2.1V (4.2A) を超えると、現在の電流サイクルが終了します (サイクルごとの電流制限)。出力インダクタンスが小さく入力電圧が高いアプリケーションでは、電流制限コンパレータの伝搬遅延により、スイッチ電流がオーバーシュートする可能性があります。オーバーシュートが発生した場合、降圧スイッチのオフ時間中にダイオード電流サンプリング回路が過剰なインダクタ電流を検出します。サンプル/ホールド DC レベルが 2.1V の電流制限スレッショルドを超えると、降圧スイッチがディスエーブルになり、ダイオード電流サンプリング回路によってインダクタ電流が電流制限スレッショルド未満に減衰したことが検出されるまで、パルスをスキップします。この方法により、電流オーバーシュート後にインダクタ電流が強制的に減衰するため、伝搬遅延またはインダクタの飽和による電流暴走状態を防止できます。

#### 6.4.7 ソフトスタート

ソフトスタート機能は、レギュレータを徐々に初期の定常状態動作点へと到達させることで、起動時のストレスやサーボを低減します。初期のソフトスタート電流ソースは、10μA に設定され、SS ピンに接続された外付けソフトスタートコンデンサの電圧が徐々に上昇します。ソフトスタート用コンデンサの電圧は、エラー アンプのリファレンス入力に接続されます。SS ピン電圧を制限またはクランプする外付け回路を用いて、各種のシーケンスおよびトラッキング手法を実装します。

フォルトが検出された場合 (過熱、V<sub>CC</sub> UVLO、SD)、ソフトスタートコンデンサが放電されます。フォルト条件が解消されると、新しいソフトスタートシーケンスが開始されます。

#### 6.4.8 降圧ピン

LM25576-Q1 は、N チャネル降圧スイッチと関連するフローティング高電圧レベルシフトまたはゲートドライバを内蔵しています。このゲートドライバ回路は、内部ダイオードと外付けブートストラップコンデンサと組み合わせて動作します。0.022 $\mu$ F のセラミックコンデンサを、**BST** ピンと **SW** ピンの間に短い配線で接続することを推奨します。降圧スイッチのオフ時間中、**SW** ピンの電圧は約-0.5 V であり、ブートストラップコンデンサは  $V_{CC}$  から内部ブートストラップダイオードを経由して充電されます。高い PWM デューティサイクルで動作する場合、ブートストラップコンデンサが再充電されたことを確認するために、降圧スイッチは各サイクルで 500ns 間強制的にオフになります。

軽負荷時または出力電圧が事前に充電されている場合、降圧スイッチのオフ期間中に **SW** 電圧は低レベルを維持しません。インダクタ電流がゼロまで低下し、**SW** ピンが上昇すると、ブートストラップコンデンサは降圧スイッチのゲートドライバを動作させるのに十分な電圧を得られません。これらのアプリケーションでは、**PRE** ピンを **SW** ピンに接続してブートストラップコンデンサを事前充電します。**PRE** ピンと **PGND** の間に接続された内部プリチャージ MOSFET とダイオードは、新しいスイッチングサイクルの開始の直前に 265ns にわたって各サイクルをオンにします。**SW** ピンが通常の負電圧レベル(連続導通モード)にある場合、プリチャージ MOSFET / ダイオードには電流は流れません。

#### 6.4.9 過熱保護

最大接合部温度を超えた場合に集積回路を保護する目的で、内部にサーマルシャットダウン回路が実装されています。この回路は通常 165°C でアクティブになり、コントローラは強制的に低消費電力のリセット状態に移行し、出力ドライバとバイアスレギュレータはディセーブルされます。この機能は、偶発的なデバイス過熱による致命的な障害を防止するために提供されます。

## 7 アプリケーションと実装

### 注

以下のアプリケーション セクションにある情報は、TI の製品仕様に含まれるものではなく、TI はその正確性も完全性も保証いたしません。個々の目的に対する製品の適合性については、お客様の責任で判断していくことになります。お客様は自身の設計実装を検証しテストすることで、システムの機能を確認する必要があります。

### 7.1 アプリケーション情報

#### 7.1.1 設計要件

外部部品を計算する手順を、次の設計例で示します。この設計の部品表を、[表 7-1](#) に示します。[セクション 6.2](#) に示す回路は、以下の仕様で構成されています：

- $V_{OUT} = 5V$
- $V_{IN} = 7 V \rightarrow 42 V$
- $F_s = 300\text{kHz}$
- 最小負荷電流 (CCM の場合) =  $250\text{mA}$
- 最大負荷電流 =  $3\text{A}$

#### 7.1.2 詳細な設計手順

[ここをクリック](#)すると、WEBENCH® Power Designer により、LM25576-Q1 デバイスを使用するカスタム設計を作成できます。

1. 入力電圧 ( $V_{IN}$ )、出力電圧 ( $V_{OUT}$ )、出力電流 ( $I_{OUT}$ ) の要件を入力します。
2. オプティマイザーのダイヤルを使用して、効率、占有面積、コストなどの主要なパラメータについて設計を最適化します。
3. 生成された設計を、テキサス インストゥルメンツが提供する他の設計と比較します。

WEBENCH Power Designer では、カスタマイズされた回路図と部品リストを、リアルタイムの価格と部品の在庫情報と併せて参照できます。

通常、次の操作を実行可能です。

- 電気的なシミュレーションを実行し、重要な波形と回路の性能を確認する
- 熱シミュレーションを実行し、基板の熱特性を把握する
- カスタマイズされた回路図やレイアウトを、一般的な CAD フォーマットで出力する
- 設計のレポートを PDF で印刷し、他のユーザーと設計を共有する

##### 7.1.2.1 $R_3 (R_T)$

$R_T$  は、発振器のスイッチング周波数を設定します。一般的に、高周波アプリケーションは小さくなりますが、損失が大きくなります。この例では、小型サイズと高効率の両方を考慮した妥当な折衷点として、 $300\text{kHz}$  での動作を選択しました。 $300\text{kHz}$  のスイッチング周波数について、 $R_T$  の値は次の式で計算されます：

$$R_T = \frac{[(1 \div 300 \times 10^{-9})]}{135 \times 10^{-12}} \quad (8)$$

- $R_T = 21\text{k}\Omega$  の最も近い標準値

### 7.1.2.2 インダクタ (L1)

インダクタの値は以下に基づいて決定されます:

- 動作周波数
- 負荷電流
- リップル電流
- 最小入力電圧 ( $V_{IN(min)}$ )
- 最大入力電圧 ( $V_{IN(max)}$ )

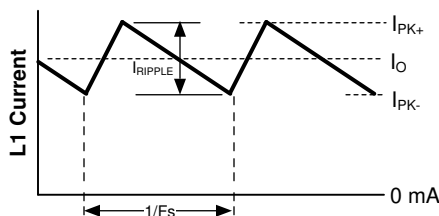


図 7-1. インダクタ電流の波形

回路を連続導通モード (CCM) で維持するには、最大リップル電流  $I_{RIPPLE}$  が最小負荷電流の 2 倍 (または  $0.5A_{p-p}$ ) 未満であることを確認します。この値を用いて、インダクタンス  $L1$  を次の式で計算します。

$$L1 = \frac{V_{OUT} \times [V_{IN(max)} - V_{OUT}]}{I_{RIPPLE} \times F_S \times \sqrt{V_{IN(max)}}} \quad (9)$$

$$L1 = \frac{5V \times [42V - 5V]}{0.5A \times 300kHz \times 42V} = 29\mu H \quad (10)$$

この手順では、 $L1$  の値を選択するためのガイドを示します。標準値で最も近い値 ( $33\mu H$ ) を使用します。飽和を防止するため、 $L1$  はピーク電流 ( $I_{PK+}$ ) に対応した定格されていることを確認します。通常の負荷条件では、最大負荷電流に最大リップルを加えた値でピーク電流が発生します。過負荷状態では、ピーク電流は公称  $4.2A$  (最大  $5.1A$ ) に制限されます。選択したインダクタ (表 7-1 を参照) の飽和電流定格は控えめな  $6.2A$  です。このメーカーの場合、飽和定格は  $20^{\circ}C$  でインダクタンスが 30% 低減するのに必要な電流として定義されます。

### 7.1.2.3 C3 ( $C_{RAMP}$ )

インダクタ値を選択してから、エミュレーションランプ回路に必要な  $C3$  の値 ( $C_{RAMP}$ ) は 式 3 で計算します

$L1$  が  $33\mu H$  の場合、 $C3$  の推奨値は  $330pF$  です。

### 7.1.2.4 C9、C10

出力コンデンサ  $C9$  および  $C10$  は、インダクタのリップル電流を平滑化し、過渡負荷状況において充電の電源になります。この設計では、 $22\mu F$  のセラミックコンデンサと  $150\mu F$  の SP 有機コンデンサを使用しています。セラミックコンデンサは超低 ESR を実現して出力リップル電圧とノイズスパイクを低減し、SP コンデンサは過渡負荷条件において小さな体積で大きなバルク容量を実現します。出力リップル電圧の近似値は、次の式で計算されます:

$$V_{OUT} = \Delta I_L \times \left[ ESR + \frac{1}{8 \times F_S \times C_{OUT}} \right] \quad (11)$$

### 7.1.2.5 D1

すべての LM25576-Q1 アプリケーションには、ショットキー タイプの再循環ダイオードが必要です。超高速ダイオードは推奨されず、逆方向回復電流過渡により IC が損傷する可能性があります。正確に近い逆回復特性と、順方向電圧降下の低さは、LM25576-Q1 の一般的な高入力電圧および低出力電圧アプリケーションにおいて特に重要なダイオード特性です。逆方向回復特性によって、降圧スイッチがオンになったときに、各サイクルで電流サーチがどの程度持続するかが決まります。ショットキー ダイオードの逆方向回復特性により、各サイクルのターンオン時に発生する降圧スイッチのピーク

時電力が最小化されます。降圧スイッチのスイッチング損失は、ショットキー ダイオードを使用すると大幅に減少します。逆方向ブレーキダウン定格は、最大  $V_{IN}$  に安全マージンを加えた値以上を選択してください。

順方向電圧降下は、特に出力電圧が低いアプリケーションで、変換効率に大きな影響を与えます。ダイオードの定格電流はメーカーによって大きく異なります。最悪条件は、負荷短絡状態を想定したものです。この場合、ダイオードは出力電流をほぼ連続的に流します。LM25576-Q1 の場合、この電流は最大 4.2A に達する可能性があります。ワースト ケースで、ダイオードの両端で 1V 電圧降下すると仮定すると、最大ダイオード消費電力は最大 4.2W に達する可能性があります。リファレンス デザインでは、DPAK パッケージの 60V ショットキーが選択されています。

#### 7.1.2.6 C1、C2

レギュレータの電源電圧は、スイッチング周波数で大きなソース インピーダンスを持ちます。オン時間時にほとんどのスイッチ電流を供給しながら、 $V_{IN}$  ピンのリップル電圧を制限するには、高品質な入力コンデンサが必要です。降圧スイッチがオンになると、 $V_{IN}$  ピンに流れ込む電流がインダクタ電流波形の低いピークまで徐々に増え、ピーク値まで上昇してから、ターンオフ時にゼロに低下します。オン時間中の  $V_{IN}$  に流れ込む平均電流が負荷電流です。RMS 電流定格および最小リップル電圧に対して、入力容量を選択します。必要なリップル電流定格について、適切な近似値は  $I_{RMS} > I_{OUT} \div 2$  です。

入力フィルタには、低 ESR の高品質なセラミック コンデンサを選択します。コンデンサの許容誤差と電圧による影響を考慮して、2.2μF、100V のセラミック コンデンサを 2 個使用します。LM25576-Q1 の最大定格付近でステップ入力電圧過渡が予想される場合は、 $V_{IN}$  ピンでのリングやスパイクの有無を慎重に確認します。ステップ入力電圧過渡が発生する場合は、追加のダンピング回路または入力電圧クランプを使用してください。

#### 7.1.2.7 C8

$V_{CC}$  ピンのコンデンサは、 $V_{CC}$  レギュレータのノイズ フィルタリングと安定性を高めます。C8 id の推奨値は 0.1μF 以下です。C8 が高品質、低 ESR のセラミック コンデンサであることを確認します。この設計では、0.47μF のコンデンサを使用しています。

#### 7.1.2.8 C7

BST ピンと SW ピンとの間のポートストラップ コンデンサは、ターンオン時にバック スイッチのゲートを充電するためのゲート電流を供給します。C7 に推奨される値は 0.022μF です。C7 が高品質、低 ESR のセラミック コンデンサであることを確認します。

#### 7.1.2.9 C4

SS ピンのコンデンサにより、ソフトスタート時間が決まります。ソフトスタート時間、すなわちリファレンス電圧と出力電圧が最終的なレギュレートされる値に達するまでの時間が決定されます。この時間は、次の式で計算されます：

$$t_{SS} = \frac{C4 \times 1.225V}{10\mu A} \quad (12)$$

このアプリケーションでは、ソフトスタート時間 1ms に対応する C4 の値として 0.01μF を使用しています。

#### 7.1.2.10 R5、R6

R5 と R6 は出力電圧レベルを設定し、これらの抵抗の比は次の式で計算されます：

$$R5/R6 = \left[ \frac{V_{OUT}}{1.225V} \right] - 1 \quad (13)$$

5V 出力の場合、R5 と R6 の比は 3.082 と計算されます。これらの抵抗は、標準値の抵抗から選択します。1kΩ ~ 0kΩ の範囲から開始するのが適切です。R5 の値は 5.11kΩ に選定されます。R6 には 1.65kΩ の値が選定されています。

#### 7.1.2.11 R1、R2、C12

分圧器を SD ピンに接続することで、レギュレータの最小動作電圧  $V_{IN(min)}$  を設定できます。この機能が必要な場合、分圧抵抗値を選択する最も簡単な方法は、R1 の値 (10kΩ と 100kΩ の間を推奨) を選択し、以下から R2 を計算することです。

$$R2 = 1.225 \times \left[ \frac{R1}{V_{IN(\min)} + (5 \times 10^{-6} \times R1) - 1.225} \right] \quad (14)$$

コンデンサ C12 は、分圧器のフィルタリングを行います。SD ピンの電圧は 8V を超えないようにしてください。外部設定点デバイダを使用する場合、高入力電圧の条件下で SD ピンをクランプする必要がある場合があります。このリファレンスデザインは、LM25576-Q1 の電圧範囲全体 (6V ~ 42V) を使用しているため、これらの部品は省略可能です。SD ピンが断線した場合、LM25576-Q1 は V<sub>CC</sub> UVLO スレッショルドが満たされると応答します。

#### 7.1.2.12 R7, C11

パワー ダイオードの両端にスナバ回路を配置することで、スイッチング ノードのリンギングおよびスパイクが減少します。過剰なリンギングおよびスパイクは誤動作を引き起こし、出力にスパイクやノイズを結合させる場合があります。LM25576-Q1 の定格を超える電圧スパイクや還流ダイオードにより、これらのデバイスに損傷を与える可能性があります。スナバの値の選択には、実験的な手法が最適です。最初に、スナバ接続のリードが非常に短いことを確認します。LM25576-Q1a の標準的な電流レベルでは、5Ω ~ 20Ω の抵抗値で十分です。スナバ コンデンサの値を増やすとダンピングが増えますが、損失も大きくなります。重負荷時に SW ピンの波形を十分にダンピングできる C11 の最小の値を選択してください。

#### 7.1.2.13 R4, C5, C6

これらの部品は、安定した全体ループ ゲインを得るために、エラー アンプのゲイン特性を構成します。電流モード制御の利点の 1 つは、R4 と C5 の 2 つのフィードバック成分のみを使用してループを閉じることができます。全体のループ ゲインは、変調器のゲインとエラー アンプのゲインの積です。LM25576-Q1 の DC 変調器のゲインは次のように表されます：

$$DC\ Gain_{(MOD)} = Gain_{m(MOD)} \times R_{LOAD} = 2 \times R_{LOAD} \quad (15)$$

変調器の支配的な低周波数極は、負荷抵抗 (R<sub>LOAD</sub>)、と出力容量 (C<sub>OUT</sub>) によって決定されます。この極のコーナー周波数は次のとおりです：

$$f_p(MOD) = \frac{1}{(2\pi R_{LOAD} C_{OUT})} \quad (16)$$

R<sub>LOAD</sub> = 5Ω および C<sub>OUT</sub> = 177μF の場合、f<sub>p(MOD)</sub> = 180Hz

$$DC\ Gain_{(MOD)} = 2 \times 5 = 10 = 20dB \quad (17)$$

セクション 6.2 の設計例では、変調器のゲイン対周波数特性が 図 7-2 に示すように測定されます。

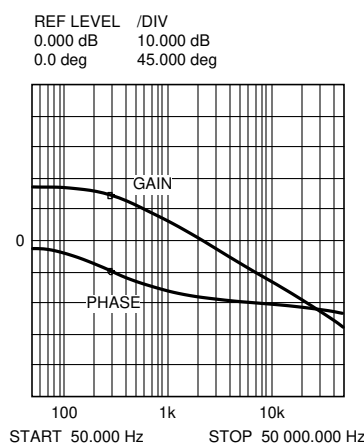


図 7-2. R<sub>LOAD</sub> = 5Ω および C<sub>OUT</sub> = 177μF での変調器のゲインおよび位相

部品 R4 と C5 は、DC に極があり、 $f_Z = 1 \div (2\pi R4 C5)$  にゼロがあるタイプ II 構成としてエラー アンプを構成します。エラー アンプのゼロは変調器の極を打ち消し、ループ ゲインのクロスオーバー周波数でシングル ポール応答が残ります。クロスオーバー周波数におけるシングル ポール応答により、90°の位相マージンを持つ、安定したループが得られます。

この設計例では、ループ帯域幅（クロスオーバー周波数）の目標値として 20kHz を使用します。補償回路ゼロ ( $f_Z$ ) は、目標クロスオーバ周波数より 1 枠以上低い値を選択する必要があります。これにより、目的の補償ネットワークであるゼロ  $1 \div (2\pi R4 C5)$  が 2kHz 未満になるように R4 と C5 の積に制約が生じます。R4 を増加させてそれに比例して C5 を減少させると、エラー アンプ ゲインが増加します。反対に、R4 を減少させてそれに比例して C5 を増加させた場合、エラー アンプ ゲインは減少します。この設計例では、C5 は 0.01μF、R4 は 49.9kΩ です。これらの値により、補償回路のゼロが 320Hz に構成されます。 $f_Z$  より高い周波数でのエラー アンプ ゲインは次のとおりです。R4/R5 であり、約 10 (20dB) です。

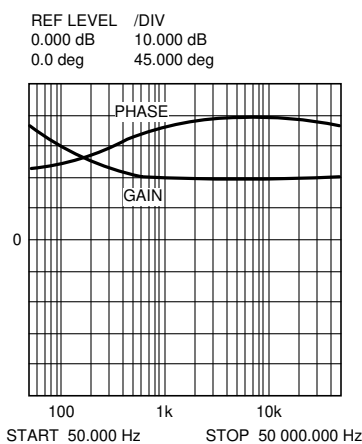


図 7-3. エラー アンプのゲインおよび位相

ループ全体は、変調器のゲインとエラー アンプのゲインの合計 (dB) として予測できます。

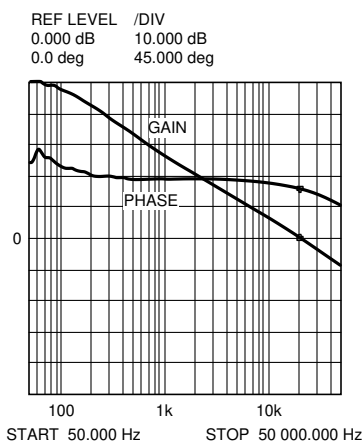


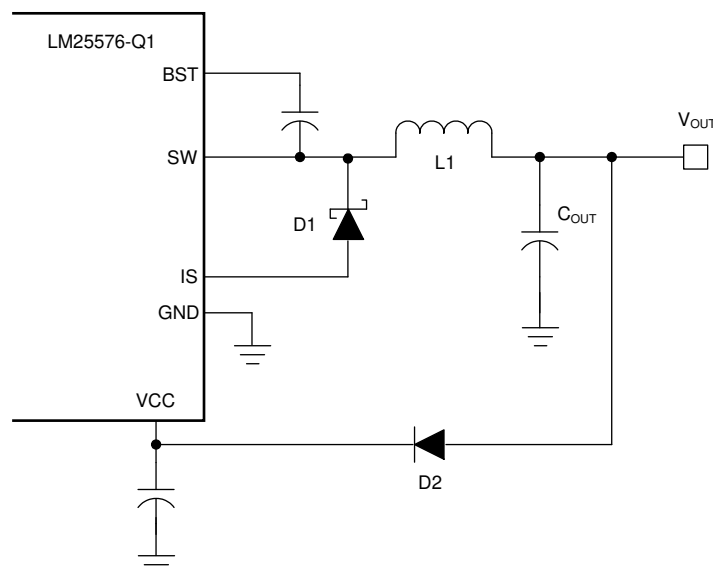
図 7-4. 全体的なループのゲインおよび位相

ネットワーク アナライザが利用可能な場合、変調器のゲインを測定し、目的のループ伝達関数に合わせてエラー アンプのゲインを構成してください。ネットワーク アナライザが利用できない場合は、記載されているガイドラインを使用してエラー アンプ補償部品を設計できます。性能が許容範囲内であることを確認するため、ステップ負荷過渡試験を実施します。ステップ負荷の目標は、応答が減衰した場合の最小オーバーシュートです。補償回路網に C6 を追加して、エラー アン

のノイズ感受性を低減してください。このコンデンサを追加するとエラー アンプの伝達関数に極が追加されるため、C6 の値を確実に小さいことを確認します。この極がループのクロスオーバー周波数より十分高い位置にあることを確認します。C6 によって追加される極の位置の適切な近似値は、 $f_{p2} = f_z \times C5 \div C6$  です。

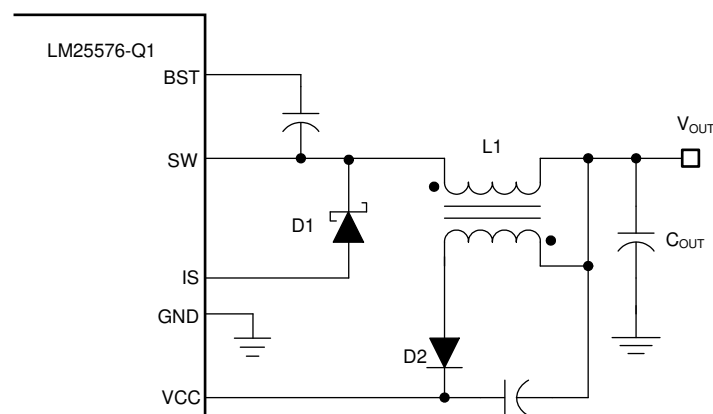
### 7.1.3 バイアス消費電力の低減

高い入力電圧で動作する降圧レギュレータは、IC のバイアスに対してかなりの電力を消費します。 $V_{CC}$  レギュレータは、入力電圧  $V_{IN}$  を公称  $V_{CC}$  レベルの 7V まで降圧する必要があります。 $V_{CC}$  レギュレータの両端での大きな電圧降下は、 $V_{CC}$  レギュレータ内での大きな消費電力につながります。このバイアス レギュレータの消費電力を大幅に低減できる方法はいくつかあります。図 7-5 および図 7-6 は、出力電圧から IC をバイアスする 2 つの方法を示しています。いずれの場合も、最初に内部  $V_{CC}$  レギュレータを使用して  $V_{CC}$  ピンにバイアスを印加します。出力電圧が確立されると、 $V_{CC}$  ピンの電位が公称 7V レギュレーション レベルよりも高くなり、内部  $V_{CC}$  レギュレータが実質的にディスエーブルされます。 $V_{CC}$  ピンに印加される電圧が 14V を超えないことを確認します。 $V_{CC}$  電圧は、 $V_{IN}$  電圧より高くしてはならないようにします。



Copyright © 2017, Texas Instruments Incorporated

図 7-5.  $8V < V_{OUT} < 14V$  の場合、 $V_{OUT}$  からの  $V_{CC}$  バイアス

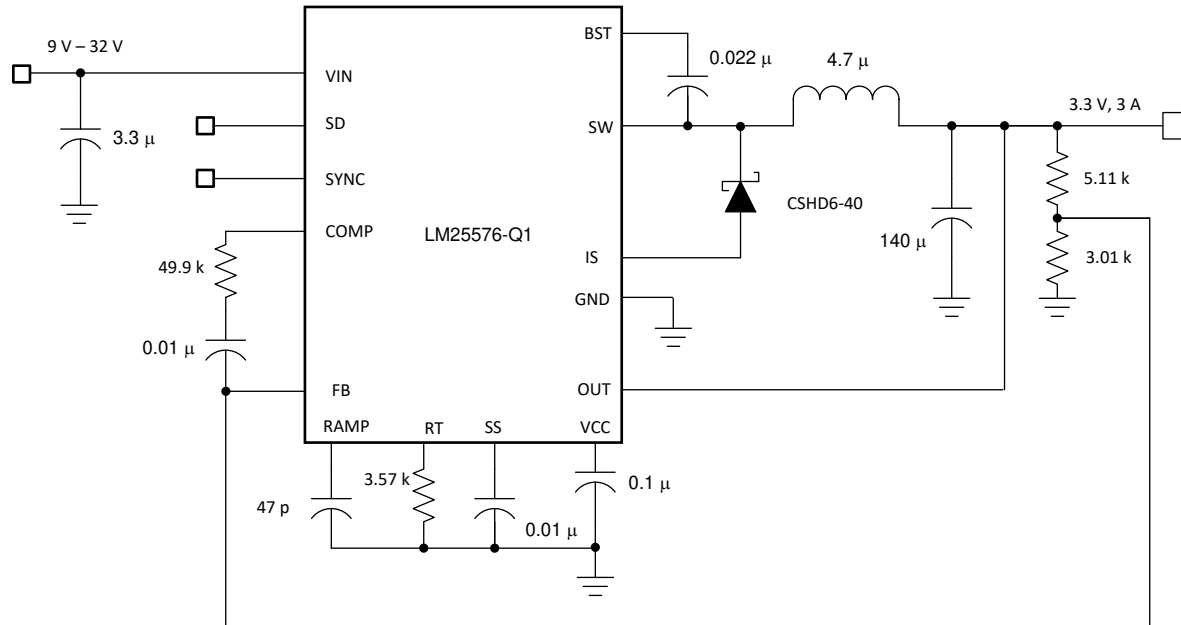


Copyright © 2017, Texas Instruments Incorporated

図 7-6. 出力インダクタの追加巻線による  $V_{CC}$  バイアス

## 7.2 代表的なアプリケーション

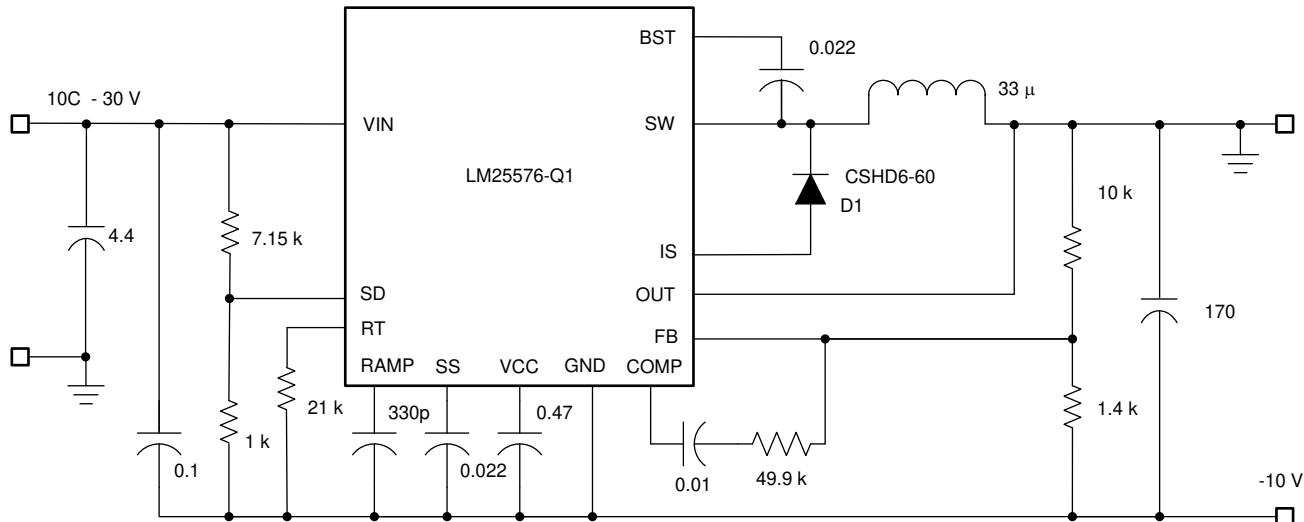
### 7.2.1 高周波 (1MHz) アプリケーションの代表的な回路図



Copyright © 2017, Texas Instruments Incorporated

図 7-7. 3.3V、3A、1MHz の回路図

### 7.2.2 昇降圧(反転) アプリケーションの代表的な回路図



Copyright © 2017, Texas Instruments Incorporated

### 7.2.3 アプリケーション曲線

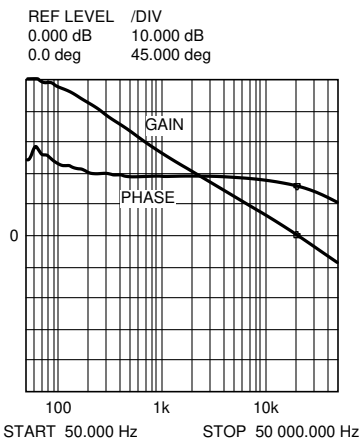


図 7-8. 全体的なループのゲインおよび位相

### 7.3 電源に関する推奨事項

入力電源の特性は、このデータシートに記載されている仕様と互換性があることを確認してください。また、入力電源が、負荷時のレギュレータに必要な入力電流を供給できることを確認してください。平均入力電流は、次の式を使って見積もります。

$$I_{IN} = \frac{V_{OUT} \times I_{OUT}}{\eta \times V_{IN}} \quad (18)$$

- $\eta$  = 効率

レギュレータが長いワイヤや PCB パターンで入力電源に接続される場合は、良好な性能を実現するために特別な注意が必要です。入力ケーブルの寄生インダクタンスと抵抗は、レギュレータの動作に悪影響を及ぼすことがあります。寄生インダクタンスは、低 ESR セラミック入力コンデンサとの組み合わせによって不足減衰共振回路を形成し、レギュレータへの入力での過電圧過渡の原因となる可能性があります。寄生抵抗は、出力に負荷過渡が加わった際に、VIN ピンの電圧が低下する原因となる可能性があります。アプリケーションが最小入力電圧に近い値で動作している場合、この低下によってレギュレータが瞬間にシャットダウンし、リセットされる可能性があります。このような問題を解決する最善策は、入力電源からレギュレータまでの距離を制限、またはセラミックと並列にアルミニウムやタンタルの入力コンデンサを使用を計画することです。この種のコンデンサの ESR は比較的低いため、入力共振回路の減衰およびオーバーシュートの低減に役立ちます。通常、値の範囲が  $20\mu F \sim 100\mu F$  であれば入力を減衰させるのに十分で、大きな負荷過渡中も入力電圧を安定した状態に保持できます。

システムに関するその他の考慮事項として、レギュレータの前に入力フィルタが使われる場合があります。その際は、注意深く設計しないと、不安定性につながる可能性があり、上述の現象の一因ともなり得ます。AN-2162『DC/DC コンバータ向け伝導 EMI の簡単な成功事例』アプリケーション ノートでは、スイッチング レギュレータの入力フィルタを設計する際に役立つ提案を紹介しています。場合によっては、コンバータの入力に過渡電圧サプレッサ (TVS) が使われています。この素子の種類には、スナップバック特性を持つもの (サイリスタ型) があります。テキサス・インスツルメンツでは、このタイプの特性を持つデバイスの使用を推奨していません。このタイプの TVS が作動すると、クランプ電圧は非常に低い値に低下します。この電圧がレギュレータの出力電圧よりも低い場合、出力コンデンサは本デバイスを通して入力に向かって放電します。この制御されない電流は、デバイスに損傷を与える可能性があります。

### 7.4 レイアウト

#### 7.4.1 レイアウトのガイドライン

##### 7.4.1.1 プリント基板レイアウトと熱に関する検討事項

図 7-6 の回路は、LM25576-Q1 のブロック図と LM25576-Q1 の代表的なアプリケーション基板回路図の両方として使用されています。降圧レギュレータには、電流が高速で切り替わる 2 つのループがあります。最初のループは、入力コンデ

ンサから始まり、レギュレータの **VIN** ピン、レギュレータの **SW** ピン、インダクタ、負荷へと続きます。2つ目のループは、出力コンデンサのグランドから始まり、レギュレータの **PGND** ピン、レギュレータの **IS** ピン、ダイオードアノード、インダクタ、負荷へと続きます。これらのループの面積を最小化することで、浮遊インダクタンスを減らし、ノイズを最小限に抑え、不安定動作の可能性を最小限に抑えることができます。入力フィルタコンデンサを出力フィルタコンデンサとレギュレータの **PGND** ピンに接続する方法として、プリント基板のグランドプレーンが推奨されます。すべての低消費電力グランド接続 ( $C_{SS}$ ,  $R_T$ ,  $C_{RAMP}$ ) をレギュレータの **AGND** ピンに直接接続します。**AGND** ピンと **PGND** ピンを、デバイスの下側全体をカバーする上面の銅領域を経由して互いに接続します。この下側の銅領域に、グランドプレーンに複数のビアを配置します。

消費電力が大きい2つの部品は、リサーチュレーションダイオードと LM25576-Q1 レギュレータ IC です。LM25576-Q1 内で消費される電力を決定する最も簡単な方法は、合計変換損失 (Pin - Pout) を測定して、ショットキー ダイオード、出力インダクタ、およびスナバ抵抗の電力損失を減算することです。ショットキー ダイオード損失の近似式は、以下のとおりです。

$$P = [1D] \times I_{out} \times V_{fwd} \quad (19)$$

出力インダクタ損失の近似式は、以下のとおりです。

$$P = I_{OUT}^2 \times F_{sw} \times C_{snub} \quad (20)$$

- $R$  はインダクタの DC 抵抗、
- 係数 1.1 は AC 損失の近似値です

スナバを使用する場合、ダンピング抵抗の電力消費の近似値は次の通りです

$$P = V_{IN}^2 \times F_{sw} \times C_{snub} \quad (21)$$

ここで、

- $F_{sw}$  はスイッチング周波数です
- $C_{snub}$  はスナバコンデンサです

レギュレータには、電力拡散を補助するため、露出サーマルパッドが搭載されています。デバイスの下で、いくつかのビアをグランドプレーンに追加すると、レギュレータの接合部温度が大幅に低下します。ダイオードの電力拡散を促進するため、露出パッドを持つダイオードを選択します。

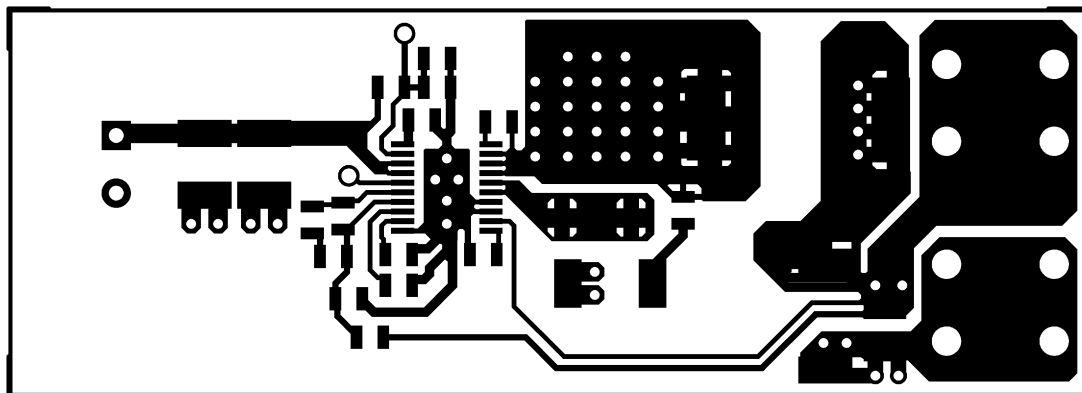
LM25576-Q1 によって消費される電力に影響を与える最も重要な変数は、出力電流、入力電圧、動作周波数です。最大出力電流と最大入力電圧に近い値で動作しているときの消費電力は、かなり大きくなる可能性があります。LM25576-Q1 評価基板の動作周波数は、300kHz に対応する設計を採用しています。42V 入力、3A の出力電流で動作している場合、LM25576-Q1 レギュレータの消費電力は約 1.9W です。

LM25576-Q1 の接合部から周囲間の熱抵抗は、アプリケーションによって異なります。最も重要な変数は、PC 基板内の銅箔の面積、IC 露出パッドの下にあるビアの数、および提供される強制空冷の量です。この評価基板のアートワークによれば、LM25576-Q1 の下 (部品側) の領域は銅で覆われており、半田側のグランドプレーンへの 5 つの接続ビアがあります。IC の下にビアを追加すると、ビアの数を増やすほど効果が減少します。IC の露出パッドから PC 基板への半田接続の完全性が重要です。過剰なボイドは、放熱能力を大幅に低下させます。評価基板に実装されている LM25576-Q1 の接合部から周囲間の熱抵抗は、エアフローなしの 45°C/W から 900 LFM (リニア フィート/分) の 25°C/W まで変化します。周囲温度が 25°C でエアフローがない場合、LM25576-Q1 の予測される接合部温度は  $25 + (45 \times 1.9) = 110^\circ\text{C}$  になります。評価基板が 3A の出力電流と 42V の入力電圧で長時間動作すると、IC 内のサーマルシャットダウン保護機能が起動することがあります。IC はオフになるため接合部が冷却され、その後、ソフトスタートコンデンサがゼロにリセットされて再起動します。

**表 7-1. 5V、3A デモ ボードの部品表**

項目	部品番号	説明	値
C 1	C4532X7R2A225M	コンデンサ、CER、TDK	2.2μ、100V
C 2	C4532X7R2A225M	コンデンサ、CER、TDK	2.2μ、100V
C 3	C0805C331G1GAC	コンデンサ、CER、KEMET	330p、100V
C 4	C2012X7R2A103K	コンデンサ、CER、TDK	0.01μ、100V
C 5	C2012X7R2A103K	コンデンサ、CER、TDK	0.01μ、100V
C 6	オープン	未使用	
C 7	C2012X7R2A223K	コンデンサ、CER、TDK	0.022μ、100V
C 8	C2012X7R1C474M	コンデンサ、CER、TDK	0.47μ、16V
C 9	C3225X7R1C226M	コンデンサ、CER、TDK	22μ、16V
C 10	EEFHE0J151R	コンデンサ、SP、パナソニック	150μ、6.3V
C 11	C0805C331G1GAC	コンデンサ、CER、KEMET	330p、100V
C 12	オープン	未使用	
D 1	CSHD6-60C	ダイオード、60V、セントラル	
	6CWQ10FN	ダイオード、100V、IR (D1-ALT)	
L 1	DR127-330	インダクタ、クーパー	33μH
R 1	オープン	未使用	
R 2	オープン	未使用	
R 3	CRCW08052102F	抵抗	21kΩ
R 4	CRCW08054992F	抵抗	49.9kΩ
R 5	CRCW08055111F	抵抗	5.11kΩ
R 6	CRCW08051651F	抵抗	1.65kΩ
R 7	CRCW2512100J	抵抗	10、1W
U 1	LM25576-Q1	レギュレータ、テキサス インスツルメンツ	

#### 7.4.2 レイアウト例



**図 7-9. コンポーネント側**

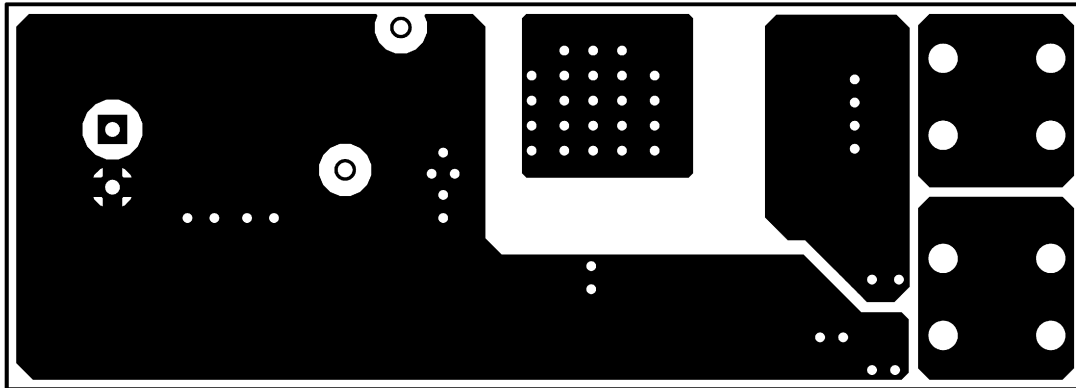


図 7-10. はんだ側

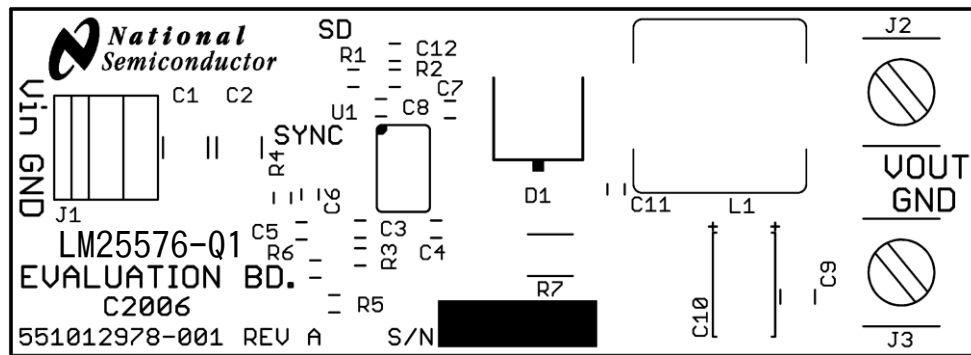


図 7-11. シルクスクリーン

## 8 デバイスおよびドキュメントのサポート

### 8.1 デバイス サポート

#### 8.1.1 開発サポート

##### 8.1.1.1 WEBENCH® ツールによるカスタム設計

ここをクリックすると、WEBENCH® Power Designer により、LM25576-Q1 デバイスを使用するカスタム設計を作成できます。

- 最初に、入力電圧 ( $V_{IN}$ )、出力電圧 ( $V_{OUT}$ )、出力電流 ( $I_{OUT}$ ) の要件を入力します。
- オプティマイザのダイヤルを使用して、効率、占有面積、コストなどの主要なパラメータについて設計を最適化します。
- 生成された設計を、テキサス・インスツルメンツが提供する他の方式と比較します。

WEBENCH Power Designer では、カスタマイズされた回路図と部品リストを、リアルタイムの価格と部品の在庫情報と併せて参照できます。

通常、次の操作を実行可能です。

- 電気的なシミュレーションを実行し、重要な波形と回路の性能を確認する
- 熱シミュレーションを実行し、基板の熱特性を把握する
- カスタマイズされた回路図やレイアウトを、一般的な CAD フォーマットで出力する
- 設計のレポートを PDF で印刷し、設計を共有する

WEBENCH ツールの詳細は、[www.ti.com/ja-jp/WEBENCH](http://www.ti.com/ja-jp/WEBENCH) でご覧になれます。

### 8.2 ドキュメントの更新通知を受け取る方法

ドキュメントの更新についての通知を受け取るには、[www.tij.co.jp](http://www.tij.co.jp) のデバイス製品フォルダを開いてください。右上の アラートを受け取るをクリックして登録すると、製品情報の更新に関する週次ダイジェストを受け取ることができます。変更の詳細については、修正されたドキュメントに含まれている改訂履歴をご覧ください。

### 8.3 サポート・リソース

テキサス・インスツルメンツ E2E™ サポート・フォーラムは、エンジニアが検証済みの回答と設計に関するヒントをエキスパートから迅速かつ直接得ることができる場所です。既存の回答を検索したり、独自の質問をしたりすることで、設計で必要な支援を迅速に得ることができます。

リンクされているコンテンツは、各寄稿者により「現状のまま」提供されるものです。これらはテキサス・インスツルメンツの仕様を構成するものではなく、必ずしもテキサス・インスツルメンツの見解を反映したものではありません。テキサス・インスツルメンツの[使用条件](#)を参照してください。

### 8.4 商標

テキサス・インスツルメンツ E2E™ is a trademark of Texas Instruments.

WEBENCH® is a registered trademark of Texas Instruments.

すべての商標は、それぞれの所有者に帰属します。

### 8.5 静電気放電に関する注意事項

この IC は、ESD によって破損する可能性があります。テキサス・インスツルメンツは、IC を取り扱う際には常に適切な注意を払うことを推奨します。正しい取り扱いおよび設置手順に従わない場合、デバイスを破損するおそれがあります。

ESD による破損は、わずかな性能低下からデバイスの完全な故障まで多岐にわたります。精密な IC の場合、パラメータがわずかに変化するだけで公表されている仕様から外れる可能性があるため、破損が発生しやすくなっています。

### 8.6 用語集

#### テキサス・インスツルメンツ用語集

この用語集には、用語や略語の一覧および定義が記載されています。

## 9 改訂履歴

資料番号末尾の英字は改訂を表しています。その改訂履歴は英語版に準じています。

Changes from Revision * (December 2017) to Revision A (December 2025)	Page
• ドキュメント全体にわたって表、図、相互参照の採番方法を更新.....	1
• 「ESD 定格」セクションにデバイス帶電モデル仕様と付随する表の注を追加.....	5
• 「熱抵抗特性」を追加.....	5
• バイアス電流 (lin) を更新 3.4mA から 2mA.....	6
• シャットダウン電流 (lin) を更新: 57uA から 48uA.....	6
• 昇圧 UVLO ヒステリシスを以下のように更新: 0.56V から: 0.8V.....	6
• FB バイアス電流を更新: 17nA から 10nA の詳細を示します.....	6
• セクションのタイトルを以下のように更新: 外付け部品から: 設計要件.....	16
• 「詳細な設計手順」セクションを更新.....	16
• 「アプリケーション曲線」セクションを追加.....	22
• 「電源に関する推奨事項」を追加.....	23
• レイアウトをアプリケーションおよび実装セクションに移動.....	23

## 10 メカニカル、パッケージ、および注文情報

以降のページには、メカニカル、パッケージ、および注文に関する情報が記載されています。この情報は、指定のデバイスに使用できる最新のデータです。このデータは、予告なく、このドキュメントを改訂せずに変更される場合があります。本データシートのブラウザ版を使用されている場合は、画面左側の説明をご覧ください。

**PACKAGING INFORMATION**

Orderable part number	Status (1)	Material type (2)	Package   Pins	Package qty   Carrier	RoHS (3)	Lead finish/ Ball material (4)	MSL rating/ Peak reflow (5)	Op temp (°C)	Part marking (6)
LM25576QMH/NOPB	Active	Production	HTSSOP (PWP)   20	73   TUBE	Yes	SN	Level-1-260C-UNLIM	-40 to 125	LM25576 QMH
LM25576QMH/NOPB.A	Active	Production	HTSSOP (PWP)   20	73   TUBE	Yes	SN	Level-1-260C-UNLIM	-40 to 125	LM25576 QMH
LM25576QMH/NOPB.B	Active	Production	HTSSOP (PWP)   20	73   TUBE	Yes	SN	Level-1-260C-UNLIM	-40 to 125	LM25576 QMH
LM25576QMNX/NOPB	Active	Production	HTSSOP (PWP)   20	2500   LARGE T&R	Yes	Call TI   Sn	Level-1-260C-UNLIM	-40 to 125	LM25576 QMH
LM25576QMNX/NOPB.A	Active	Production	HTSSOP (PWP)   20	2500   LARGE T&R	Yes	Call TI	Level-1-260C-UNLIM	-40 to 125	LM25576 QMH
LM25576QMNX/NOPB.B	Active	Production	HTSSOP (PWP)   20	2500   LARGE T&R	Yes	Call TI	Level-1-260C-UNLIM	-40 to 125	LM25576 QMH

<sup>(1)</sup> **Status:** For more details on status, see our [product life cycle](#).

<sup>(2)</sup> **Material type:** When designated, preproduction parts are prototypes/experimental devices, and are not yet approved or released for full production. Testing and final process, including without limitation quality assurance, reliability performance testing, and/or process qualification, may not yet be complete, and this item is subject to further changes or possible discontinuation. If available for ordering, purchases will be subject to an additional waiver at checkout, and are intended for early internal evaluation purposes only. These items are sold without warranties of any kind.

<sup>(3)</sup> **RoHS values:** Yes, No, RoHS Exempt. See the [TI RoHS Statement](#) for additional information and value definition.

<sup>(4)</sup> **Lead finish/Ball material:** Parts may have multiple material finish options. Finish options are separated by a vertical ruled line. Lead finish/Ball material values may wrap to two lines if the finish value exceeds the maximum column width.

<sup>(5)</sup> **MSL rating/Peak reflow:** The moisture sensitivity level ratings and peak solder (reflow) temperatures. In the event that a part has multiple moisture sensitivity ratings, only the lowest level per JEDEC standards is shown. Refer to the shipping label for the actual reflow temperature that will be used to mount the part to the printed circuit board.

<sup>(6)</sup> **Part marking:** There may be an additional marking, which relates to the logo, the lot trace code information, or the environmental category of the part.

Multiple part markings will be inside parentheses. Only one part marking contained in parentheses and separated by a "~" will appear on a part. If a line is indented then it is a continuation of the previous line and the two combined represent the entire part marking for that device.

**Important Information and Disclaimer:** The information provided on this page represents TI's knowledge and belief as of the date that it is provided. TI bases its knowledge and belief on information provided by third parties, and makes no representation or warranty as to the accuracy of such information. Efforts are underway to better integrate information from third parties. TI has taken and continues to take reasonable steps to provide representative and accurate information but may not have conducted destructive testing or chemical analysis on incoming materials and chemicals. TI and TI suppliers consider certain information to be proprietary, and thus CAS numbers and other limited information may not be available for release.

In no event shall TI's liability arising out of such information exceed the total purchase price of the TI part(s) at issue in this document sold by TI to Customer on an annual basis.

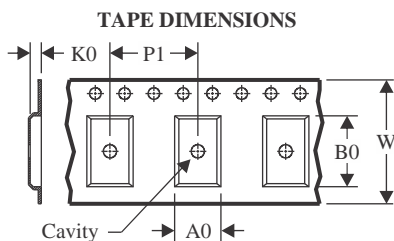
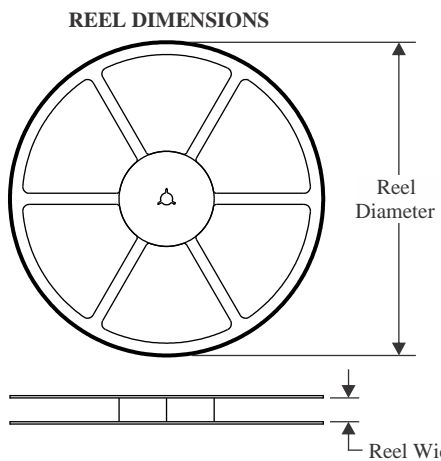
**OTHER QUALIFIED VERSIONS OF LM25576-Q1 :**

- Catalog : [LM25576](#)

NOTE: Qualified Version Definitions:

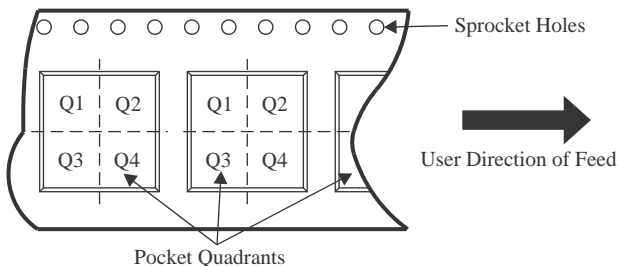
- Catalog - TI's standard catalog product

## TAPE AND REEL INFORMATION



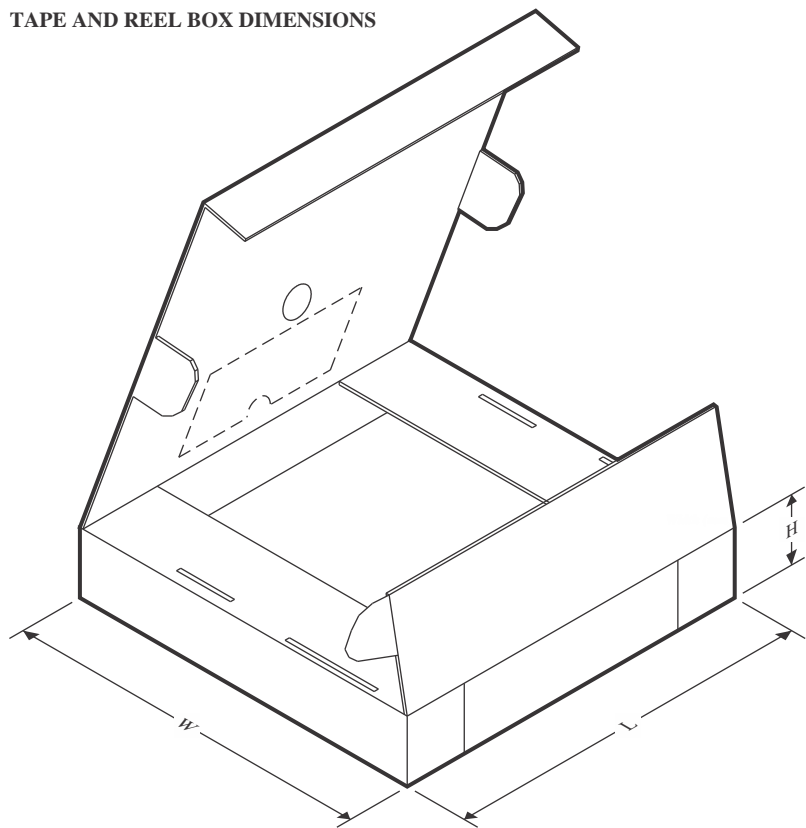
A0	Dimension designed to accommodate the component width
B0	Dimension designed to accommodate the component length
K0	Dimension designed to accommodate the component thickness
W	Overall width of the carrier tape
P1	Pitch between successive cavity centers

**QUADRANT ASSIGNMENTS FOR PIN 1 ORIENTATION IN TAPE**



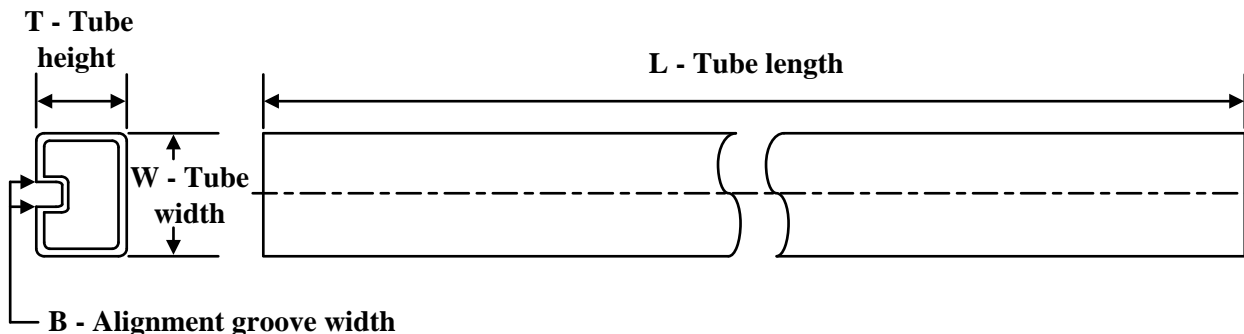
\*All dimensions are nominal

Device	Package Type	Package Drawing	Pins	SPQ	Reel Diameter (mm)	Reel Width W1 (mm)	A0 (mm)	B0 (mm)	K0 (mm)	P1 (mm)	W (mm)	Pin1 Quadrant
LM25576QMHX/NOPB	HTSSOP	PWP	20	2500	330.0	16.4	6.95	7.0	1.4	8.0	16.0	Q1

**TAPE AND REEL BOX DIMENSIONS**


\*All dimensions are nominal

Device	Package Type	Package Drawing	Pins	SPQ	Length (mm)	Width (mm)	Height (mm)
LM25576QMHX/NOPB	HTSSOP	PWP	20	2500	356.0	356.0	35.0

**TUBE**


\*All dimensions are nominal

Device	Package Name	Package Type	Pins	SPQ	L (mm)	W (mm)	T ( $\mu$ m)	B (mm)
LM25576QMH/NOPB	PWP	HTSSOP	20	73	495	8	2514.6	4.06
LM25576QMH/NOPB.A	PWP	HTSSOP	20	73	495	8	2514.6	4.06
LM25576QMH/NOPB.B	PWP	HTSSOP	20	73	495	8	2514.6	4.06

## GENERIC PACKAGE VIEW

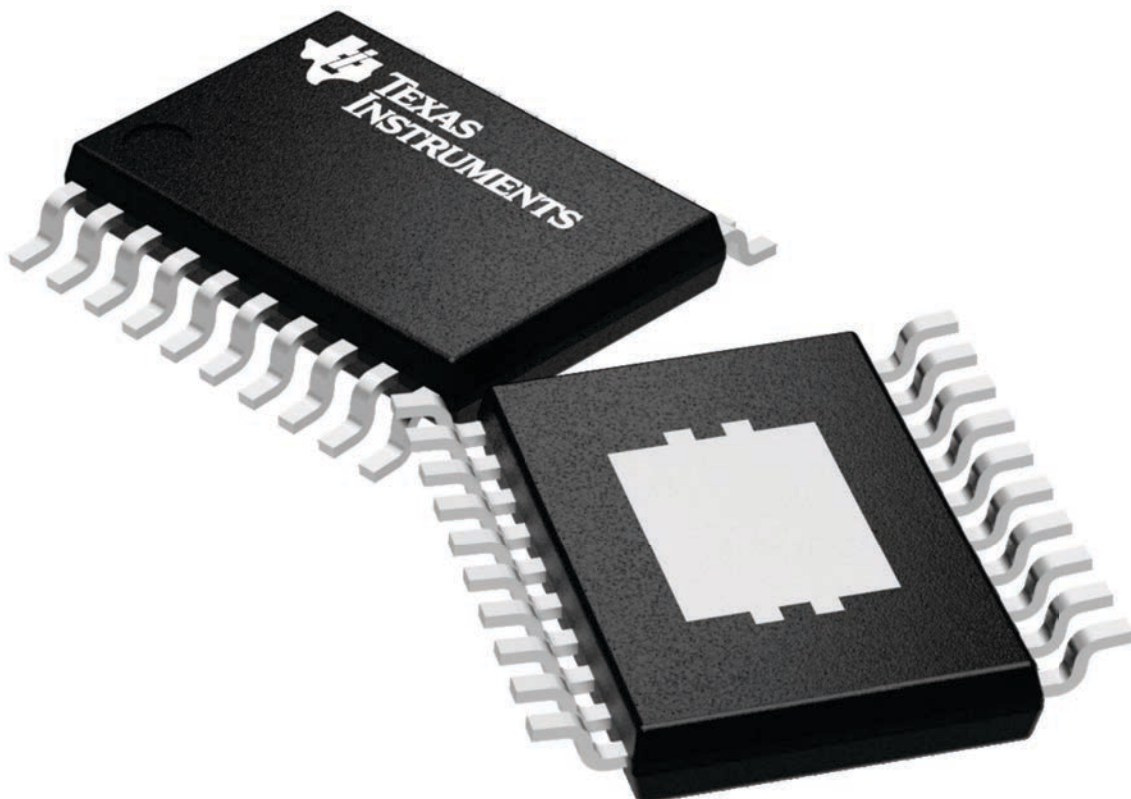
**PWP 20**

**HTSSOP - 1.2 mm max height**

**6.5 x 4.4, 0.65 mm pitch**

**SMALL OUTLINE PACKAGE**

This image is a representation of the package family, actual package may vary.  
Refer to the product data sheet for package details.



4224669/A

## 重要なお知らせと免責事項

TIは、技術データと信頼性データ(データシートを含みます)、設計リソース(リファレンス デザインを含みます)、アプリケーションや設計に関する各種アドバイス、Web ツール、安全性情報、その他のリソースを、欠陥が存在する可能性のある「現状のまま」提供しており、商品性および特定目的に対する適合性の默示保証、第三者の知的財産権の非侵害保証を含むいかなる保証も、明示的または默示的にかかわらず拒否します。

これらのリソースは、TI 製品を使用する設計の経験を積んだ開発者への提供を意図したもので、(1)お客様のアプリケーションに適した TI 製品の選定、(2)お客様のアプリケーションの設計、検証、試験、(3)お客様のアプリケーションに該当する各種規格や、その他のあらゆる安全性、セキュリティ、規制、または他の要件への確実な適合に関する責任を、お客様のみが単独で負うものとします。

上記の各種リソースは、予告なく変更される可能性があります。これらのリソースは、リソースで説明されている TI 製品を使用するアプリケーションの開発の目的でのみ、TI はその使用をお客様に許諾します。これらのリソースに関して、他の目的で複製することや掲載することは禁止されています。TI や第三者の知的財産権のライセンスが付与されている訳ではありません。お客様は、これらのリソースを自身で使用した結果発生するあらゆる申し立て、損害、費用、損失、責任について、TI およびその代理人を完全に補償するものとし、TI は一切の責任を拒否します。

TI の製品は、[TI の販売条件](#)、[TI の総合的な品質ガイドライン](#)、[ti.com](#) または TI 製品などに関連して提供される他の適用条件に従い提供されます。TI がこれらのリソースを提供することは、適用される TI の保証または他の保証の放棄の拡大や変更を意味するものではありません。TI がカスタム、またはカスタマー仕様として明示的に指定していない限り、TI の製品は標準的なカタログに掲載される汎用機器です。

お客様がいかなる追加条項または代替条項を提案する場合も、TI はそれらに異議を唱え、拒否します。

Copyright © 2025, Texas Instruments Incorporated

最終更新日：2025 年 10 月